

Campo di ANNALISA

Aggiornamento al 31/12/2018

Il campo di Annalisa è situato nell'offshore Adriatico circa 34 km a NE di Pesaro, a una profondità d'acqua di circa 55 m, nella concessione A.C32.AG evidenziata in Figura 1.

CONCESSIONE	SCADENZA	OPERATORE	TITOLARI	QUOTA	REGIONE
A.C32.AG	30/11/24	Eni	Eni	100%	Marche

Il giacimento è costituito da una blanda anticlinale con asse in direzione NW-SE e si estende per una superficie di circa 4.2 km². La serie mineralizzata è compresa tra i 2300 e 3400 m slm e interessa 52 livelli della serie PL3 della Formazione P.to Garibaldi (Figura 2).

Il campo è stato scoperto nel 1984 con il pozzo Annalisa 1; in seguito nel 1985 è stato perforato il pozzo di *appraisal* Annalisa 2 per meglio definire l'assetto della struttura. Nel novembre 1997 è stata presentata da Eni una domanda di pronuncia di compatibilità ambientale concernente la realizzazione della piattaforma Annalisa e la posa del relativo sealine di collegamento. Nel documento SIA si riportava un profilo di produzione, ottenuto dagli studi statico e dinamico di giacimento (modello *Eclipse*) del marzo 1997, che stimava riserve a vita intera pari a 1659 MSm³ producibili in 8 anni con un picco di produzione giornaliera di 1000 kSm³/g. La subsidenza massima, prevista in relazione a tale profilo e valutata con un modello geomeccanico del tipo Geertsma cilindrico, è stata stimata in 3.2 cm (in corrispondenza del culmine del giacimento) dopo 10 anni dall'inizio produzione; alla stessa data il cono di subsidenza (linea d'iso-subsidenza di 2 cm) è risultato estendersi per circa 1.6 km verso la costa. Per tale previsione sono stati utilizzati i parametri geomeccanici che, con le informazioni disponibili a tale data, venivano considerati come più rappresentativi del comportamento della formazione, in particolare:

- comprimibilità uniassiale $C_m = 0.367 \cdot 10^{-4} \text{ bar}^{-1}$
- coefficiente di Poisson $\nu = 0.33$.

In seguito al Decreto VIA n° 3547 del 7/01/99 che approvava il programma lavori presentato, nel periodo maggio-dicembre 1999 si è sviluppato il campo perforando tre nuovi pozzi (Annalisa 3, Annalisa 4 e Annalisa 5) da una piattaforma di tipo BEAF.

La produzione di gas è iniziata nel marzo del 2000 con una portata di circa 900 kSm³/g che, però, è rapidamente declinata.

Mentre i pozzi di sviluppo hanno sostanzialmente confermato le dimensioni della struttura, la loro produttività è stata notevolmente inferiore a quanto atteso. Nei primi 4 anni d'erogazione, infatti, si è avuto un arrivo prematuro e inizialmente non previsto dell'acqua di formazione ai pozzi; tale comportamento produttivo ha, pertanto, reso necessaria una revisione degli studi statico e dinamico del campo.

Con tale revisione (aprile 2005) non solo si è aggiornato il valore del GOIP che è risultato in diminuzione (*GOIP studio statico del marzo 1998 pari a 3091 MSm³, GOIP revisione studio statico dell'aprile 2005 pari a 2440 MSm³*), ma, soprattutto, si è potuto meglio calibrare il meccanismo di produzione, evidenziando una spinta dell'acquifero con conseguente sostegno della pressione nei singoli livelli messi in produzione. Ciò ha comportato una riduzione pari a circa il 46% delle riserve producibili a vita intera dal campo. Il nuovo profilo di produzione ha previsto, infatti, il recupero in 15 anni di 890 MSm³ con una graduale chiusura dei pozzi dovuta all'alta percentuale di acqua prodotta.

Nel maggio 2008 si sono di nuovo aggiornati i modelli statico e dinamico del campo di Annalisa (*Studio di giacimento - Nota Tecnica "Proposta pozzi di infilling" del maggio 2008 - rel. Eni-INPE n° 52-08*) allo scopo d'ottimizzarne la coltivazione e valutarne le residue potenzialità minerarie. Il nuovo valore del GOIP è stato di 2637 MSm³, con un incremento di circa il 10% rispetto alla stima dell'aprile 2005. Le riserve producibili in 21 anni sono a loro volta aumentate di circa 84% rispetto alla valutazione precedente, risultando pari a 1636 MSm³. Tale aumento è riconducibile sia a una rivalutazione delle riserve associate ai completamenti esistenti, sia al progetto di porre in produzione livelli mineralizzati non ancora sviluppati. Tale progetto è stato realizzato nel 2009 con la perforazione del nuovo pozzo Annalisa 6dir e l'esecuzione di due *side-track* dai pozzi Annalisa 3dir e Annalisa 5dir.

Nel maggio 2014 si sono rivisti gli studi statico e dinamico sia del campo di Annalisa, sia di quello di Annabella (*"Campi di Annalisa e Annabella - Studio di giacimento - rel. GISE n°13-14 - ottobre 2014"*). I due campi sono stati studiati congiuntamente al fine di tener conto di eventuali fenomeni d'interferenza idraulica e meccanica fra gli stessi.

Nei nuovi modelli di giacimento di Annabella e di Annalisa si è tenuto conto dei dati storici di produzione sino ad aprile 2014, onde valutare ancora le residue potenzialità minerarie di detti campi e, inoltre, individuare interventi mirati ad aumentarne il fattore di recupero finale.

In base ai risultati di questa revisione è stato perforato un *side-track* (Annalisa 4dirA) sul pozzo Annalisa 4dir, che ha dato risultati superiori alle attese quanto a performance produttiva. Nel corso del 2015, infatti, tale *side-track* ha inizialmente erogato 280 KSm³/g di gas contro i 160 KSm³/g previsti da modello *Eclipse*.

Il nuovo valore del GOIP per il campo di Annalisa è stato valutato in 3966 MSm³, con un incremento di circa il 50% rispetto alla precedente stima del maggio 2008. Sempre per il campo di Annalisa, le riserve a vita intera sono a loro volta aumentate di circa 23%, risultando pari a un volume di 2012 MSm³ di gas producibile al 2023.

Nel novembre 2018 si è nuovamente aggiornato il modello dinamico del campo di Annalisa - Annabella (*"Campi di Annalisa e Annabella – Aggiornamento modello dinamico 2016 – Scheda riassuntiva - rel. REIT/EORG n°RDR IPET – E5149F94-0 - novembre 2018"*). Anche in questo caso i due campi sono stati studiati congiuntamente al fine di tener conto di eventuali fenomeni d'interferenza idraulica e meccanica fra gli stessi. Scopo del nuovo aggiornamento è stato quello di aggiornare il modello con i nuovi dati produttivi e di pressione fino a febbraio 2018, di valutare il potenziale produttivo residuo e di fornire un modello di giacimento aggiornato da utilizzare per l'aggiornamento del modello geomeccanico FEM del 2014. Nel nuovo aggiornamento le riserve a vita intera del campo di Annalisa (caso DN - Do Nothing) sono state ridotte da 2012 MSm³ al 2023 a 1953 MSm³ al 2021.

Nella Figura 3 è riportato l'andamento storico della portata di gas (kSm³/g), d'acqua (m³/g). Nella Figura 4, Figura 5 e Figura 6 è riportato, invece, il confronto tra la produzione reale annuale e cumulativa e quella prevista dal modello *Eclipse* 2018. Al 31/12/2018 la produzione cumulativa del campo è pari a 1920 MSm³.

In Figura 7 sono riportati per il campo di Annalisa sia i profili di pressione statica di giacimento calcolati con il modello *Eclipse* del novembre 2018 sia le pressioni statiche misurate nei livelli più rappresentativi (PL3-B10+B11, PL3-G+H, PL3-D4a+D4b, PL3-D4a+D4b+D5a+D5b).

Tale confronto mostra come, in generale, i valori calcolati da modello siano in buon accordo con i dati misurati.

Già nel marzo 2009 è stata rivista la previsione iniziale di subsidenza, seguendo l'approccio modellistico e le metodologie di lavoro descritte nel provvedimento direttoriale del Ministero dello Sviluppo Economico del 20/03/08. Per tale nuova previsione, si sono considerati i possibili effetti d'interferenza idraulica e meccanica fra il campo di Annalisa e il campo di Annabella data la loro vicinanza (7 km circa). La descrizione tecnica dello studio e i risultati ottenuti sono riportati in dettaglio nella "rel. Eni-TERA n° 02-09 del marzo 2009". Tali previsioni di subsidenza sono eseguite per tre diversi scenari, ognuno dei quali è stato valutato assumendo un diverso valore (*Low*, *Medio*, *Up*) del coefficiente di compressibilità uniassiale per i livelli soggetti a compattazione.

Una sintesi dei risultati ottenuti è presentata nella seguente Tabella 1.

Tabella 1 – Scenari di subsidenza

Scenario	2006			2022			2045		
	Max sub (cm)	Max ext A (km)	Max ext B (km)	Max sub (cm)	Max ext A (km)	Max ext B (km)	Max sub (cm)	Max ext A (km)	Max ext B (km)
Low	1	-	-	2	-	-	2	-	-
Medio	3	9	1	6	11	3	6	11	3
Up	8	13	3	18	14	5	18	15	5

In tutti i casi esaminati si può notare come la subsidenza massima a fine produzione (anno 2022) raggiunga valori modesti, e, soprattutto, come la distanza del cono di subsidenza dalla costa sia sempre superiore ai 27 km.

Un ulteriore aggiornamento del modello geomeccanico (*rel. Eni-TERA n° 07-2014 del dicembre 2014*), che ha fatto seguito alla revisione degli studi statico e dinamico di giacimento dell'ottobre 2014 per i campi di Annalisa-Annabella, è stato fatto tenendo sempre conto dei possibili effetti d'interferenza idraulica e meccanica fra questi ultimi. Come nello studio del 2009, per le nuove previsioni di subsidenza si sono considerati tre diversi scenari, ognuno dei quali è stato ottenuto assumendo un differente valore del coefficiente di compressibilità uniassiale (*Lower*, *Middle*, *Upper*) per i livelli soggetti a compattazione. Le simulazioni con modello geomeccanico sono state protrate fino al 2061 (a pozzi chiusi) così da seguire nel tempo l'evoluzione della pressione nei livelli mineralizzati e negli acquiferi dopo la fine della produzione (anno 2027).

I principali risultati ottenuti sono riportati nella seguente Tabella 2.

Tabella 2 - Risultati finali: massima subsidenza ed estensione del fenomeno per i tre scenari considerati – aggiornamento modello 2014

Scenario	1-gen-2015		Fine produzione		1-gen-2061	
	Max sub (cm)	Max estensione (km)	Max sub (cm)	Max estensione (km)	Max sub (cm)	Max estensione (km)
Lower	3	9	4	10	4	10
Middle	8	12	10	13	10	13
Upper	16	13	21	14	21	14

L'analisi di tali risultati consente di concludere che:

- il valore massimo di subsidenza è previsto verificarsi per tutti e tre gli scenari esaminati in corrispondenza del punto di coordinate 2366492 m E 4899497 m N, ed è pari a 4 cm per lo scenario *Lower*, 10 cm per lo scenario *Middle* (scenario più probabile e, quindi, assunto di riferimento) e 21 cm per lo scenario *Upper*,
- la distanza del cono di subsidenza dalla costa è sempre di circa 27 km per i tre scenari

Infine, nel dicembre 2018 è stato eseguito un ulteriore aggiornamento del modello geomeccanico a seguito dell'aggiornamento del modello dinamico di giacimento relativo ai campi di Annalisa e Annabella, effettuato con lo scopo di valutare quantitativamente la subsidenza indotta dall'attività estrattiva.

La descrizione tecnica dello studio e i risultati ottenuti sono riportati in dettaglio nella "rel. Eni-REIT n° IPET-33FC4D85-0 del dicembre 2018". La previsione di subsidenza è stata eseguita per tre diversi scenari, ognuno dei quali è stato valutato assumendo un diverso valore (*lower*, *middle*, *upper*) del coefficiente di compressibilità uniassiale per i livelli soggetti a compattazione. Una sintesi dei risultati ottenuti è presentata nella seguente Tabella 3.

Tabella 3 - Risultati finali: massima subsidenza ed estensione del fenomeno per i tre scenari considerati – aggiornamento modello 2018

Scenario	1-gen-2018		1-feb-2027		1-gen-2057	
	Max sub (cm)	Max estensione (km)	Max sub (cm)	Max estensione (km)	Max sub (cm)	Max estensione (km)
Lower	5	11	6	11	6	12
Middle	7	12	9	13	9	14
Upper	11	13	13	14	13	14

L'analisi dei risultati consente di osservare che il valore massimo di subsidenza per lo scenario di riferimento (Middle) è pari a 9 cm al 2027 e che il fenomeno si esaurisce a circa 27 Km dalla linea di costa per tutti e tre gli scenari considerati (Figura 8 e Figura 9).

A partire dai primi anni '70, Eni ha progettato e realizzato lungo la costa adriatica una rete di livellazione geometrica che, su richiesta degli Enti di Controllo a livello regionale e nazionale (Regione Emilia-Romagna, Provincia di Ravenna, Comune di Ravenna e Ministero dell' Ambiente), è rilevata con cadenza periodica. A partire dalla campagna 2011, tale periodicità ha una cadenza triennale come raccomandato nelle *“Linee Guida per lo Studio del Fenomeni di Subsidenza nell’Ambito dei Progetti di Sviluppo Sostenibile di Campi ad Olio e Gas”* emesse dal Dip. DMMMSA dell’Università di Padova nel 2007.

Le specifiche tecniche adottate sono quelle ora in uso per i rilievi della rete Eni e rispettano le indicazioni contenute nelle già citate linee guida emesse dall’Università di Padova.

Eni, inoltre, ha affidato la certificazione della documentazione e della metodologia utilizzata a un ente esterno, che attualmente è il Dipartimento DICAM dell’Università di Bologna.

La rete di livellazione rilevata nel 2017 (ultimo rilievo eseguito), è stata ampliata con l’aggiunta di uno sbraccio esteso all’area del campo di Agosta.

Tale rete è suddivisa nei seguenti tronchi di livellazione:

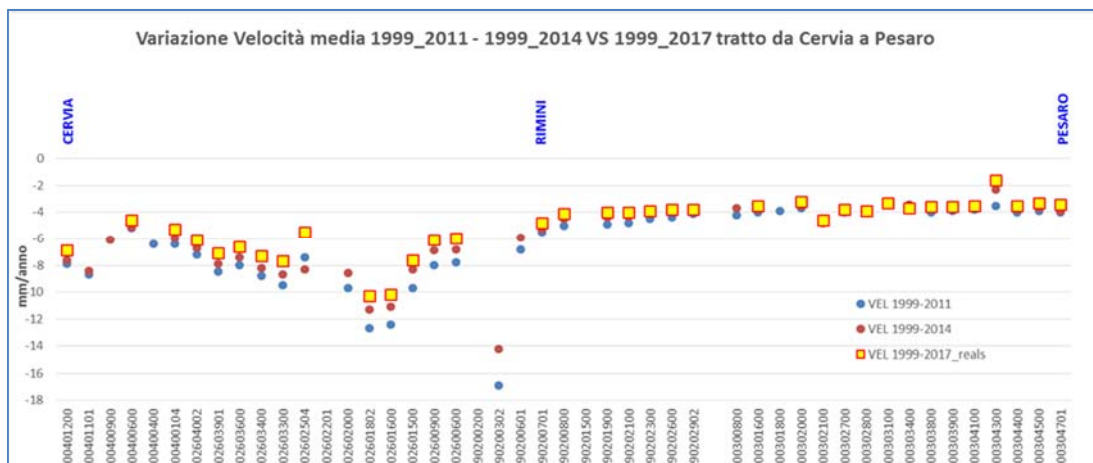
- dorsale Adriatica, da Treviso fino a Pesaro, compreso lo sviluppo degli sbracci sul delta del Po, per un totale di circa 1200 km di sviluppo lineare;
- tratto da Pesaro a P.to San Giorgio, per un totale di circa 210 km di sviluppo lineare;
- tratto Marche-Abruzzo, da P.to San Giorgio a Pescara, per un totale di circa 220 km di sviluppo lineare.

Le operazioni di campagna si sono svolte nel periodo compreso tra agosto e ottobre 2017 sotto la diretta supervisione di tecnici Eni e degli esperti dell'ente certificatore.

Si ritiene opportuno sottolineare, inoltre, che, sebbene vi siano punti di contatto tra i vari tratti di livellazione afferenti alla rete Eni, allo stato attuale non è possibile utilizzare in modo congiunto i valori di quota ottenuti sulle singole reti a causa della disomogeneità tra i capisaldi origine delle tre reti di livellazione. Per ovviare a tale situazione, determinata da fattori ambientali (grandi distanze), su suggerimento dell'ente certificatore è stata realizzata una linea di stazioni permanenti CGPS disposte a distanze regolari tra Ortona e P.to Sant'Elpidio che, con il consolidamento dei dati CGPS, costituiranno una serie di capisaldi origine omogenei, tali da consentire d'ottenere misure di quota fra loro consistenti da Treviso a Pescara. Per il tratto di costa da Cervia a Pesaro, monitorato per controllare la stabilità del litorale emiliano-romagnolo, sono disponibili, includendo la campagna del 2017, 13 serie di misure. Queste ultime sono state eseguite con cadenza annuale dal 1999 al 2009 (10 serie) e, in seguito a partire dal 2011, con cadenza triennale. La campagna del 2001 non è utilizzabile essendo stata acquisita con un'origine diversa rispetto a tutte le altre.

Le velocità medie di subsidenza, stimate con regressione lineare e relative ai capisaldi di tale tratto di costa, sono riportate in Figura A per i seguenti periodi: 1999-2011, 1999-2014 e 1999-2017. Il confronto fra i valori rilevati dei tre periodi mostra come negli ultimi anni dette velocità siano generalmente in diminuzione. Il fenomeno, già osservato con le misure del 2014, è stato ulteriormente confermato dai dati acquisiti con la campagna di livellazione del 2017.

Figura A –Tratto Cervia - Pesaro: velocità medie di subsidenza (periodo 1999-2017)



Le misurazioni di campagna si sono svolte nel pieno rispetto delle specifiche tecniche, con il controllo periodico dei supervisor e con la verifica di chiusura di tutti i tratti in andata e ritorno, nonché di tutti i poligoni realizzati. I parametri matematici della compensazione rientrano nei canoni previsti, sia per i valori di chiusura, sia per i valori legati alla propagazione dell'errore. Come programmato in precedenza, l'ente certificatore ha iniziato, da questa campagna, ad introdurre la compensazione sviluppata utilizzando i valori di velocità desunti dalle stazioni CGPS permanenti della rete Eni. A questo proposito, però, è necessario anche segnalare che i valori delle quote dei capisaldi ottenuti con questo procedimento possono differire da quelli che si ottengono con la compensazione classica, che è invece vincolata a un solo caposaldo di riferimento. In effetti, ciò è stato osservato nel caso dei risultati del rilievo 2017, in cui le misure delle quote di alcuni capisaldi sono risultate maggiori dei corrispondenti valori rilevati con la livellazione del 2014. Valori questi ultimi che erano stati ottenuti con la compensazione classica vincolata al solo caposaldo di Treviso.

I risultati del rilievo 2017 sono, comunque, compatibili con il quadro generale di una diminuzione della velocità di subsidenza osservata anche con il monitoraggio SAR.

Si deve notare, inoltre, che i dati di livellazione misurati sul singolo caposaldo non sono di solito sufficienti per caratterizzare la distribuzione areale della subsidenza. Tali misure, infatti, possono essere talvolta alterate da "disturbi" accidentali intervenuti nel tempo sui manufatti su cui i capisaldi stessi sono stati materializzati.

Al fine d'ottenere una rappresentazione areale della subsidenza o della velocità media di subsidenza V_a ¹ di una certa area è necessario avere, quindi, misure di livellazione di più capisaldi, per la cui interpretazione può convenire poi una suddivisione nelle seguenti classi di valori:

- classe 4: include i capisaldi con $V_a \geq 10$ mm/a;
- classe 3: include i capisaldi con $5 \leq V_a < 10$ mm/a;
- classe 2, include i capisaldi con $3 \leq V_a < 5$ mm/a;
- classe 1: include i capisaldi con $0 \leq V_a < 3$ mm/a;
- classe 0: include i capisaldi con $V_a < 0$ (sollevamento del suolo).

¹ Nel presente rapporto di norma le velocità di subsidenza (i.e. di abbassamento della superficie) sono riportate con valori negativi. Per comodità d'interpretazione, però, nell'elenco che segue le velocità di subsidenza sono state rappresentate con valori positivi.

L'elaborazione con questo approccio delle misure di livellazione del periodo 1999-2014 mostra per l'area in esame un quadro di generale abbassamento, con valori in leggera diminuzione rispetto a quelli misurati nelle campagne fatte fino al 2011. Il 50% dei punti, infatti, ricade nella classe 2, il 45% dei punti in quella 3 e solo il 5% (due capisaldi) ha valori di V_a di poco superiori a 10 mm/a (11.3 mm/a come valore massimo).

Il confronto con i dati di livellazione del periodo 1999-2017 conferma, come già detto, tale rallentamento della velocità di subsidenza, che è diffuso per tutto il tratto analizzato. Ricade, infatti, nella classe 2 il 60% dei punti analizzati, il 31% dei punti in quella 3, mentre è praticamente invariata la percentuale dei punti appartenenti alla classe 4 (6%, ovvero due soli punti); un solo caposaldo appartiene alla classe 1.

Le campagne future (il prossimo rilievo è previsto nel 2020), insieme al progressivo miglioramento della nuova metodologia di compensazione dei dati di campagna basata sulle velocità delle stazioni CGPS, potranno eventualmente meglio definire i trend di movimento del tratto analizzato, al netto di eventuali movimenti anomali localizzati sui singoli capisaldi, movimenti che saranno oggetto di verifica durante le prossime campagne di misura.

Per completare il monitoraggio altimetrico del tratto di costa antistante alle piattaforme si è proceduto, inoltre, ad aggiornare la copertura SAR (ottobre 2018) per un'analisi areale altimetrica integrata (Appendice A) con i dati forniti dalle stazioni CGPS (Figura 10).

Le attività di monitoraggio sono state progressivamente potenziate mettendo in opera un numero crescente di stazioni CGPS sulle piattaforme offshore operate da Eni. Dal 2007, infatti, ne sono state installate sulle piattaforme di Regina e Calpurnia (giugno 2007), di Anemone B (agosto 2007), di Annalisa (ottobre 2007), di Calipso, Tea-Lavanda-Arnica, Clara Est e Clara Nord (novembre 2007), di Barbara NW (gennaio 2008), di Bonaccia (febbraio 2008), di Annamaria A e Annamaria B (gennaio 2010), di Clara W (ottobre 2010) e di Guendalina (agosto 2011). Le stazioni CGPS di Naide e PCC sono, invece, operative dal luglio 2005, mentre la postazione Naomi-Pandora è attiva dal giugno 2002. In tempi più recenti sono state installate anche le nuove stazioni CGPS di Elettra (luglio 2014), di Fauzia (settembre 2014), di Barbara E (novembre 2014), di Bonaccia NW (settembre 2015), e, infine di Clara NW (marzo 2016). Le serie storiche di misure CGPS acquisite nelle stazioni messe in opera nel periodo 2015 - 2016, sono, però, ancora troppo brevi per consentire valutazioni specifiche.

Il sistema di monitoraggio è stato poi ulteriormente potenziato con la costruzione lungo la costa, nel tratto prospiciente i campi sopracitati, di 3 nuove stazioni altimetriche SSU (Satellite Survey Unit) equipaggiate ciascuna con un CGPS, un caposaldo di livellazione geometrica e 2 bersagli *radar* solidalmente connessi tra loro tramite una trave di cemento armato. Le 3 stazioni SSU sono state realizzate nelle Centrali Eni di Rubicone, di Fano e di Falconara nel dicembre 2007 (Appendice B); negli stessi siti sono stati perforati tra ottobre e dicembre 2008 anche tre pozzi assestometrici per il monitoraggio della compattazione superficiale del terreno. Tali stazioni si sono aggiunte a quelle preesistenti, installate più a Nord lungo la costa ravennate, nelle località di Fiumi Uniti, di Smarlacca e di Spinaroni.

Inoltre, come detto in precedenza, sono state monumentate altre 4 stazioni CGPS in Ortona, Pineto, Grottammare e P.to Sant'Elpidio, il cui completamento è avvenuto nel dicembre 2009, tutte equipaggiate con 2 bersagli radar e con un caposaldo di livellazione.

Allo stato attuale la stazione di Ortona non è, però, più operativa dal 19 aprile 2013 per l'alienazione dell'area. Nel novembre 2016, è stata messa in opera una nuova postazione CGPS a Miglianico (completata con i *corner reflector* nel mese di maggio 2017). Nel corso del 2018, sono state installate due nuove postazioni CGPS, entrambe nella configurazione S.S.U. sulle postazioni di Pomposa (ACPO – installata a settembre 2018) e di Po di Tolle (POTO – installata nel mese di luglio 2018). Una volta acquisita e consolidata una serie storica sufficientemente lunga di misure, tutte le nuove stazioni entreranno a fare parte delle stazioni utilizzate per il monitoraggio della stabilità della costa.

Analogamente a quanto avviene per le livellazioni, anche i dati del monitoraggio CGPS sono validati da un ente esterno. Attualmente questa attività è svolta dall'Università degli Studi di Bologna, Facoltà di Fisica – Dipartimento di Fisica e Astronomia DIFAS.

I dati CGPS acquisiti sulla piattaforma Annalisa, certificati fino al 2016 e in fase di certificazione per gli anni successivi, sono stati elaborati con il *software* scientifico Bernese dalla ditta e-GEOS. Si segnala che la serie storica di misure CGPS presenta un'interruzione a dicembre 2014 a causa di lavori di *work-over* in piattaforma e di un guasto della strumentazione di misura, che non hanno permesso l'acquisizione di dati nel 2015 e nella prima parte del 2016. Per rappresentare in grafici plano-altimetrici la serie storica più completa di misure, ovvero quella estesa al 31/12/2018 (Figura 11), sono stati utilizzati in questa relazione i dati non

certificati, vista la generale convergenza di questi ultimi con quelli certificati, come mostrato nella seguente Tabella 4.

Tabella 4 - Confronto dati CGPS certificati e non certificati aggiornati al 31/12/2016

Stazione	Dati Non Certificati			Dati Certificati			Delta (Non Cert. - Cert.)		
	Vel.-N mm/a	Vel.-E mm/a	Vel.-H mm/a	Vel.-N mm/a	Vel.-E mm/a	Vel.H mm/a	D-N mm/a	D-E mm/a	D-H mm/a
Annalisa	17.83	21.09	-4.11	17.89	21.21	-4.12	-0.06	-0.12	0.01

A questo proposito è opportuno precisare che l'analisi e l'interpretazione degli andamenti nel tempo delle misure altimetriche CGPS, da utilizzarsi per una verifica/taratura dei modelli previsionali di subsidenza, non possono essere considerate sufficientemente attendibili per dataset relativi a periodi di osservazione inferiori ai 36 mesi, come indicato dall'Ente che certifica tali dati con cadenza biennale.

L'Ente certificatore, infatti, verifica e valida i dati registrati al fine d'avere un numero sufficiente d'osservazioni per il corretto inquadramento delle componenti periodiche, della loro incidenza sulle misure e poter filtrare il "rumore" che per piccole velocità di subsidenza è dello stesso ordine di grandezza del valore del fenomeno fisico osservato.

Serie storiche di durata inferiore ai 36 mesi possono, quindi, essere utilizzate solo per confrontare il trend degli andamenti temporali delle misure altimetriche con quello dei valori calcolati da modello previsionale, qualora si abbia una subsidenza caratterizzata da valori sufficientemente elevati. In questi casi sarà possibile monitorare solo eventuali anomalie di trend, ma non procedere a un confronto diretto dei valori attesi da modello vs. i valori misurati.

In generale:

- dataset < 12 mesi: solo *follow up* per monitoraggio dei dati acquisiti;
- dataset di 12÷36 mesi e
 - piccoli valori di subsidenza attesi: analisi tendenziale del fenomeno e monitoraggio delle anomalie verso il trend previsionale;
 - grandi valori di subsidenza attesi: analisi tendenziale del fenomeno per calibrazione del modello previsionale;

- dataset > 36 mesi: analisi di trend e calibrazione dei modelli geomeccanici confrontando il dato di velocità di subsidenza misurato (depurato dalla velocità di subsidenza naturale) e i valori dei modelli previsionali.

Le elaborazioni sono state fatte con software scientifico Bernese, strategia OBS-MAX, utilizzando i prodotti finali (effemeridi precise e file del polo) messi a disposizione dall'IGS (International GNSS Service). Come anticipato nella precedente relazione, le elaborazioni dei dati CGPS, sono state effettuate utilizzando il sistema di riferimento ITRF2014 con il software BERNESE 5.2. Per le nostre elaborazioni il sistema di riferimento è materializzato dalle stazioni appartenenti alla rete EUREF disponibili tra: Bucarest, Genova, Graz, Matera, Medicina, Padova, Penc, Sofia, Torino, Zimmervald. L'eliminazione degli outlier delle serie storiche è effettuata mediante test a 3 SIGMA iterativo.

Per il campo di Annalisa, sulla base di una serie storica di misure CGPS di durata superiore a 36 mesi, è possibile stimare una velocità media di subsidenza totale² pari a -3.81 mm/a (Figura 11 e Figura 12), sostanzialmente senza variazioni significative rispetto a quanto riportato nella precedente relazione d'aggiornamento (-3.6 mm/a nel 2017).

Si segnala altresì che eventuali piccole differenze nelle stime delle velocità, che si possono verificare rielaborando in epoche successive i dati CGPS, dipendono anche dal fatto che l'aggiornamento delle serie storiche comporta sia l'elaborazione di un modello periodico più attendibile, sia la ridefinizione degli outlier, che sono determinati mediante il test a tre sigma su tutta la serie storica esistente. Le elaborazioni delle nuove serie storiche sono state influenzate sia dal cambio del sistema di riferimento (da ITRF2008lgb08 a ITRF2014) sia dall'utilizzo della nuova release del software scientifico Bernese (da 5.0 a 5.2). Entrambe le condizioni hanno introdotto modeste variazioni nelle velocità medie pregresse, dovute anche al ricalcolo delle serie storiche delle stazioni di riferimento. In particolare, le verifiche effettuate hanno mostrato che tali condizioni possono determinare un aumento della velocità di subsidenza dell'ordine di 0.5 mm/anno, anche sulle serie storiche delle stazioni di riferimento.

² La "subsidenza totale" rappresenta in questo caso l'abbassamento altimetrico che il fondale marino subisce in corrispondenza della piattaforma su cui è installato il CGPS. A determinare tale "subsidenza totale" concorrono vari fenomeni: la compattazione di strati profondi per estrazione di gas (subsidenza antropica), movimenti tettonici e costipazione naturale dei sedimenti (subsidenza naturale), compattazione dei sedimenti più superficiali a fondo mare per effetto del peso della piattaforma. Quest'ultimo fenomeno è evidente soprattutto nel periodo immediatamente successivo all'installazione della piattaforma stessa.

I valori di subsidenza previsti dal modello geomeccanico del 2018 sono stati confrontati con quelli acquisiti dal CGPS (aggiornati al 31/12/2018), senza che questi ultimi siano stati deperati della componente di subsidenza naturale. Come si vede dalla Figura 13, le misure CGPS si collocano sullo scenario *Middle* (scenario di riferimento), confermando l'attendibilità dell'attuale modello di subsidenza.

In sintesi, le indicazioni del modello previsionale di subsidenza e i monitoraggi fatti da Eni hanno confermato come eventuali fenomeni di subsidenza connessi alla produzione di gas dal campo di Annalisa siano di piccola entità e, soprattutto, non abbiano alcun impatto sull'andamento altimetrico del tratto di costa antistante.

Si segnala, infine, che:

- a) in Figura 14 è presentata una scheda riassuntiva con i dati di campo e lo status dei monitoraggi;
- b) in Figura 15 è presentato un particolare della rete di monitoraggio Eni.

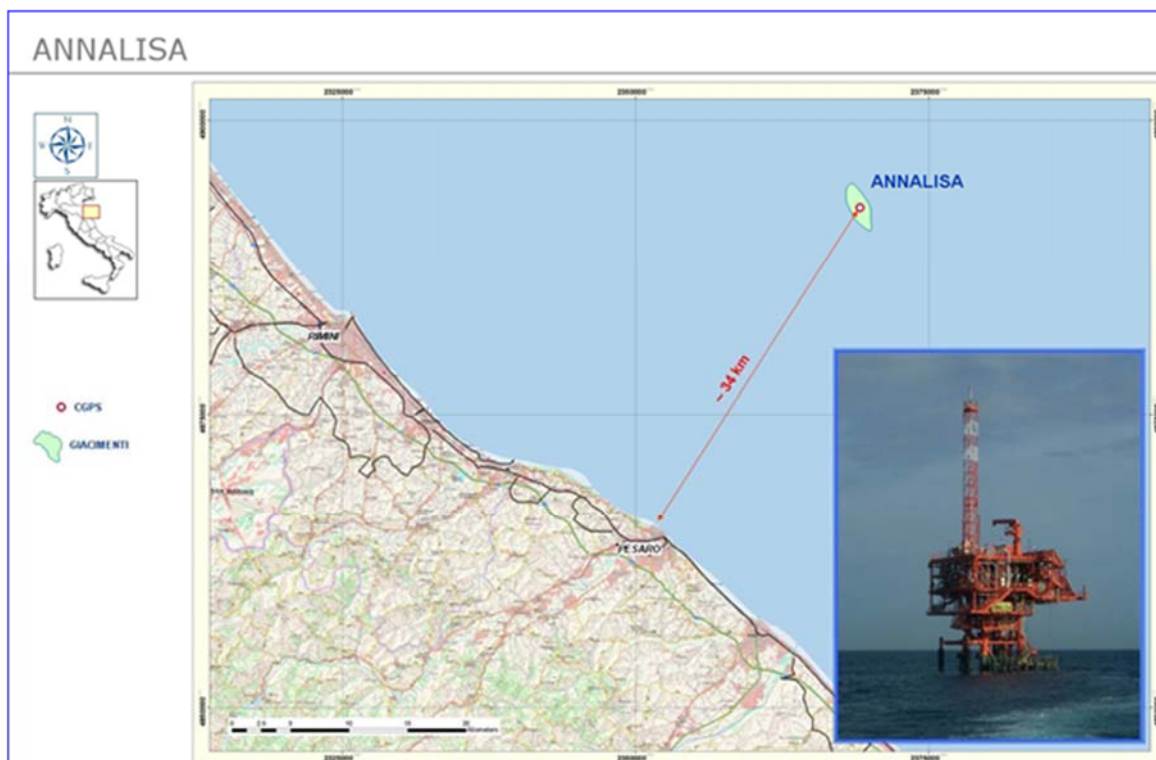


Figura 1 – Ubicazione del campo di Annalisa

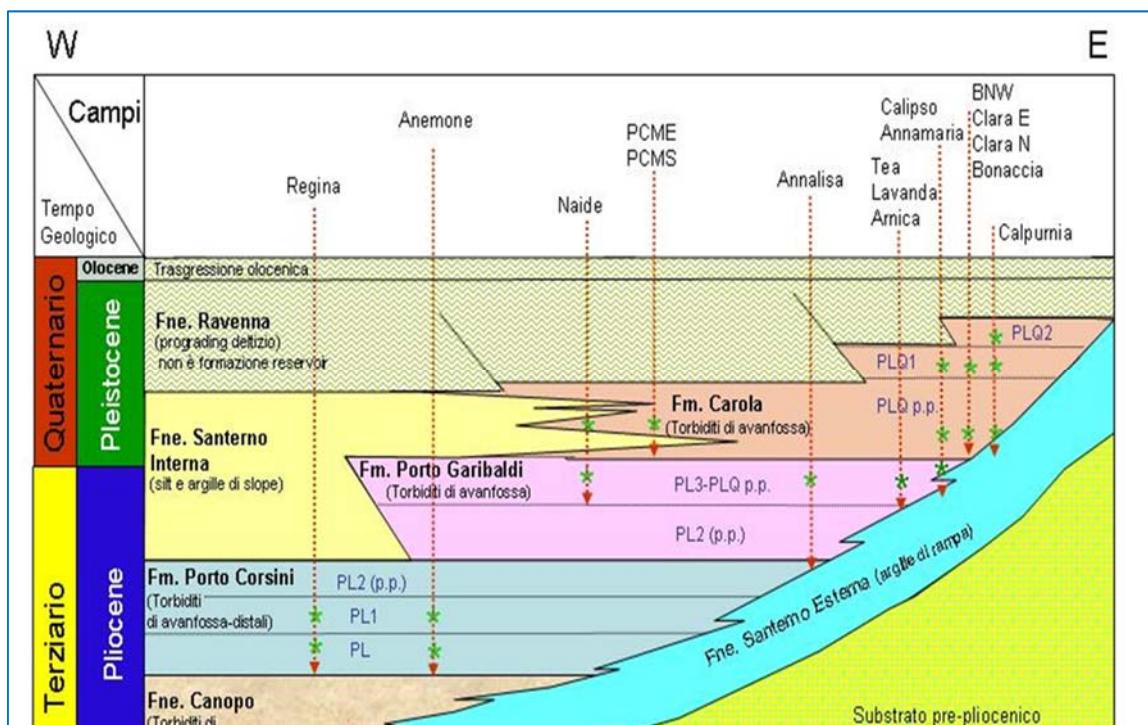


Figura 2 – Schema dei rapporti stratigrafici

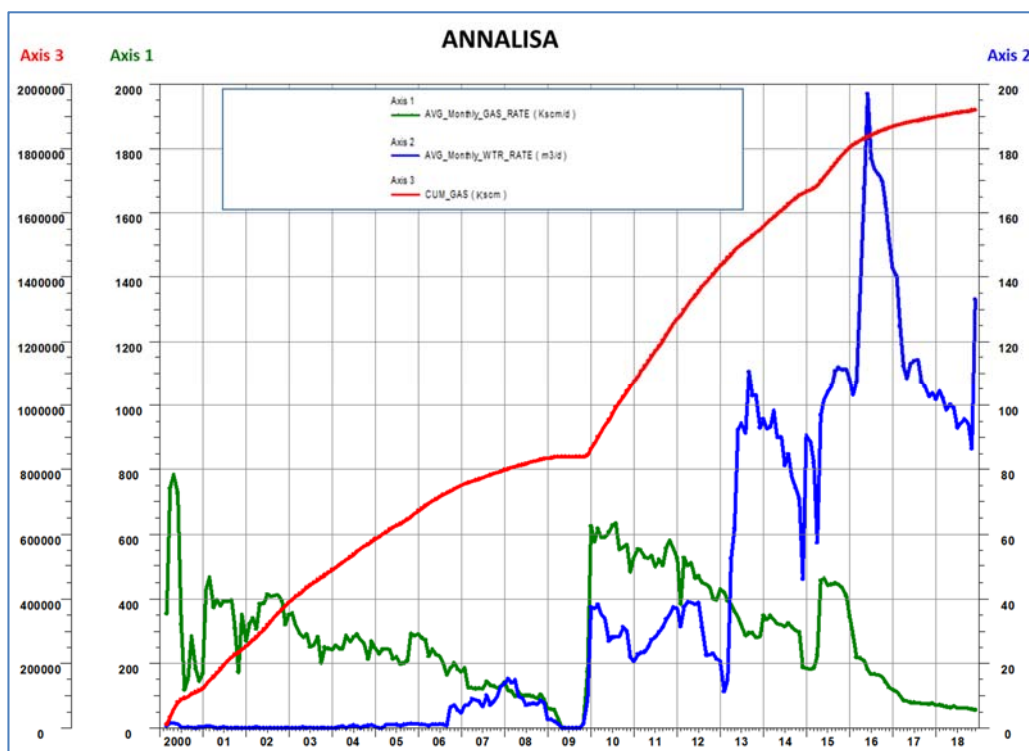


Figura 3 – Campo di Annalisa: produzione storica

CAMPO DI ANNALISA					
ANNO	Produzione annuale (MSm ³)		Produzione cumulativa (MSm ³)		Rapporto Produzione reale vs Riserve modello 3D ECLIPSE
	Reale	Modello 3D ECLIPSE	Reale	Modello 3D ECLIPSE	
2000	116	116	116	116	6%
2001	128	128	245	245	13%
2002	133	133	378	378	19%
2003	103	103	481	481	25%
2004	96	96	576	576	30%
2005	86	86	663	663	34%
2006	82	82	744	744	38%
2007	50	50	794	794	41%
2008	39	39	833	833	43%
2009	12	12	845	845	43%
2010	214	214	1058	1058	54%
2011	195	195	1254	1254	64%
2012	168	168	1422	1422	73%
2013	124	125	1546	1547	79%
2014	114	111	1660	1658	85%
2015	132	132	1792	1790	92%
2016	73	74	1865	1864	96%
2017	32	32	1897	1896	97%
2018	24	24	1920	1920	98%
2019		20		1940	
2020		9		1948	
2021		4		1953	
2022					
2023					
2024					

Figura 4 - Campo di Annalisa: produzioni reali e da modello *Eclipse* 2018

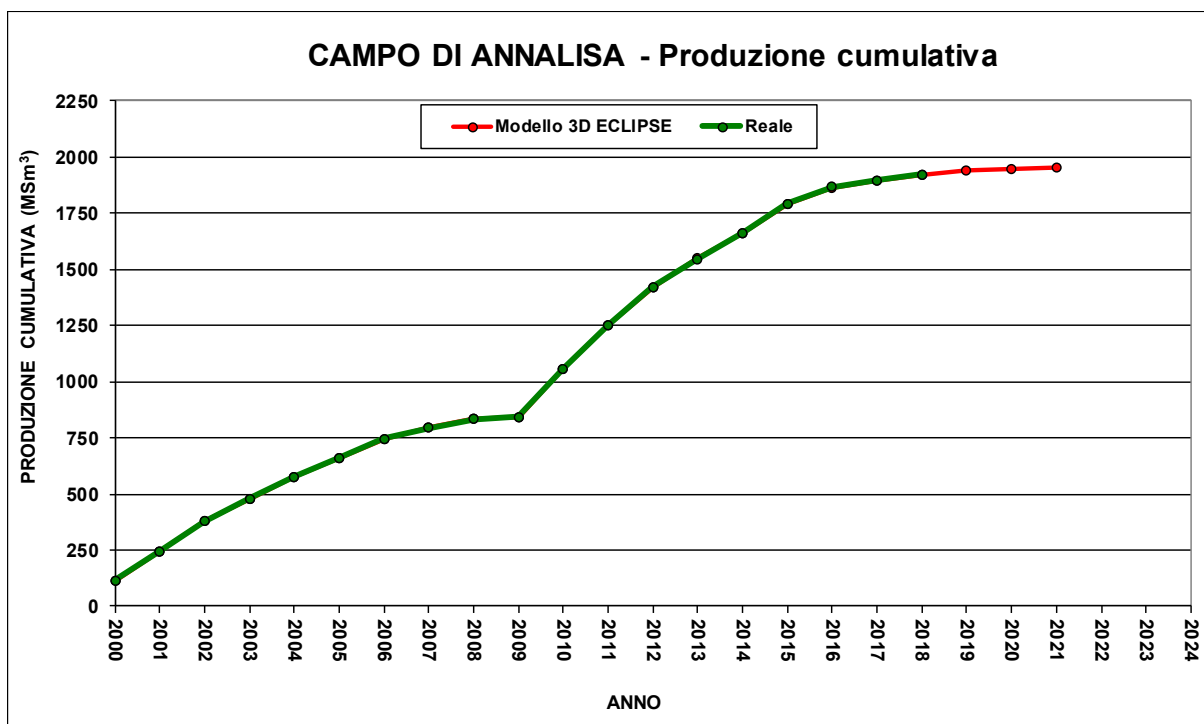


Figura 5 - Campo di Annalisa: grafico di produzione reale e da modello *Eclipse* 2018

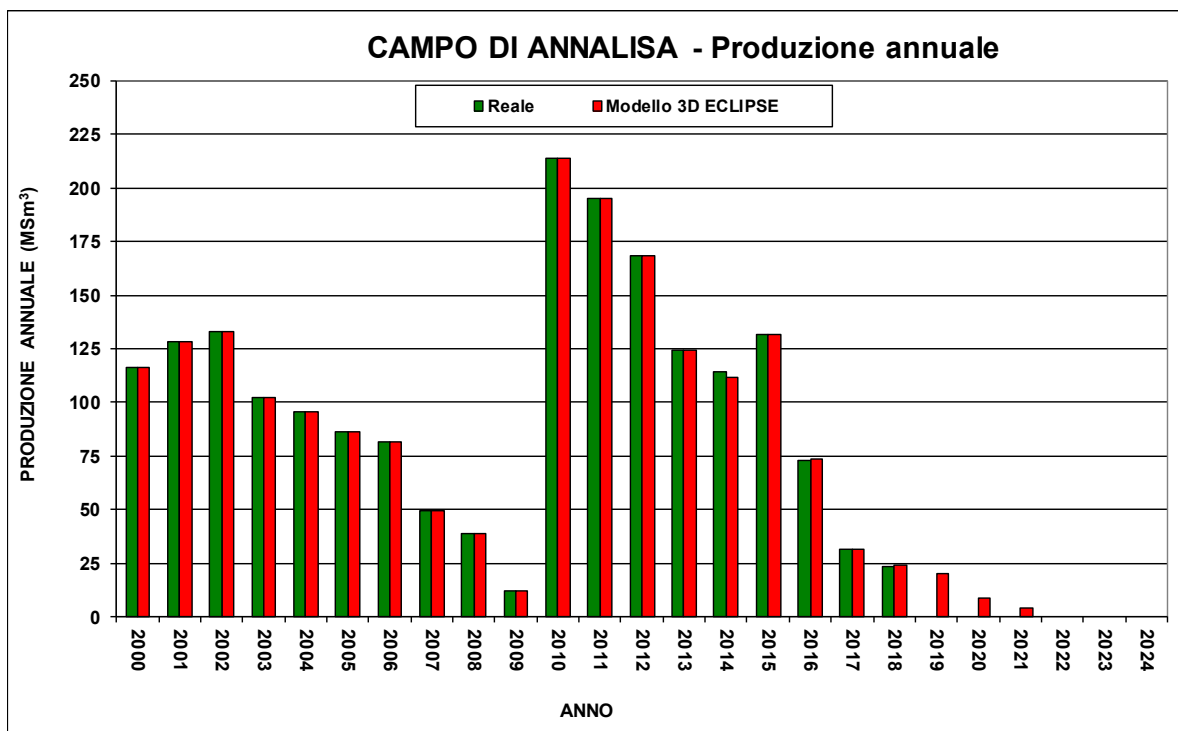


Figura 6 - Campo di Annalisa: produzione (annuale) reale e da modello *Eclipse* 2018

CAMPO DI ANNALISA															
Data	Livelli PL3-B10+B12			Livelli PL3-B10+B11			Livelli PL3-G1+H1			Livelli PL3-D4+D4b			Livelli PL3-D4+D4b+D5a+D5b		
	Pressione (bara)	RFT in pozzo	Profilo in string	Pressione (bara)	RFT in pozzo	Profilo in string	Pressione (bara)	RFT in pozzo	Profilo in string	Pressione (bara)	RFT in pozzo	Profilo in string	Pressione (bara)	RFT in pozzo	Profilo in string
20/07/2003	223		4 C	220		5 C				253		3 L			
23/10/2006	199		4 C	192		5 C				214		3 L			
22/09/2010							285		6 L						
24/10/2012							265		6 L						
21/11/2014													231		3 L
17/10/2015													190		3 L
29/09/2016													152		3 L
02/10/2017													139		3 L
15/11/2018													142		3 L

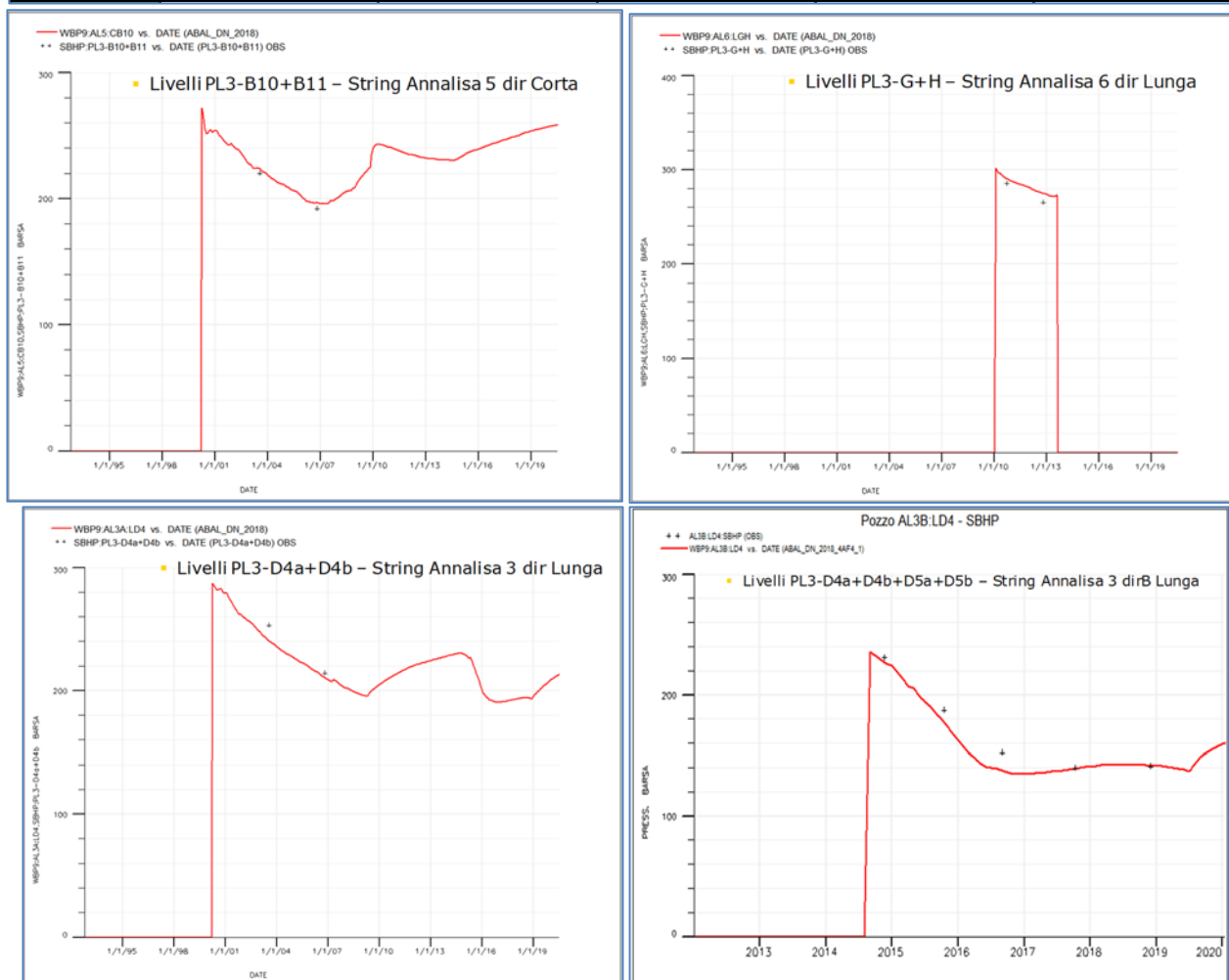


Figura 7 - Campo di Annalisa: confronto fra i dati misurati di pressione statica e i profili di pressione calcolati (modello *Eclipse* - 2018)

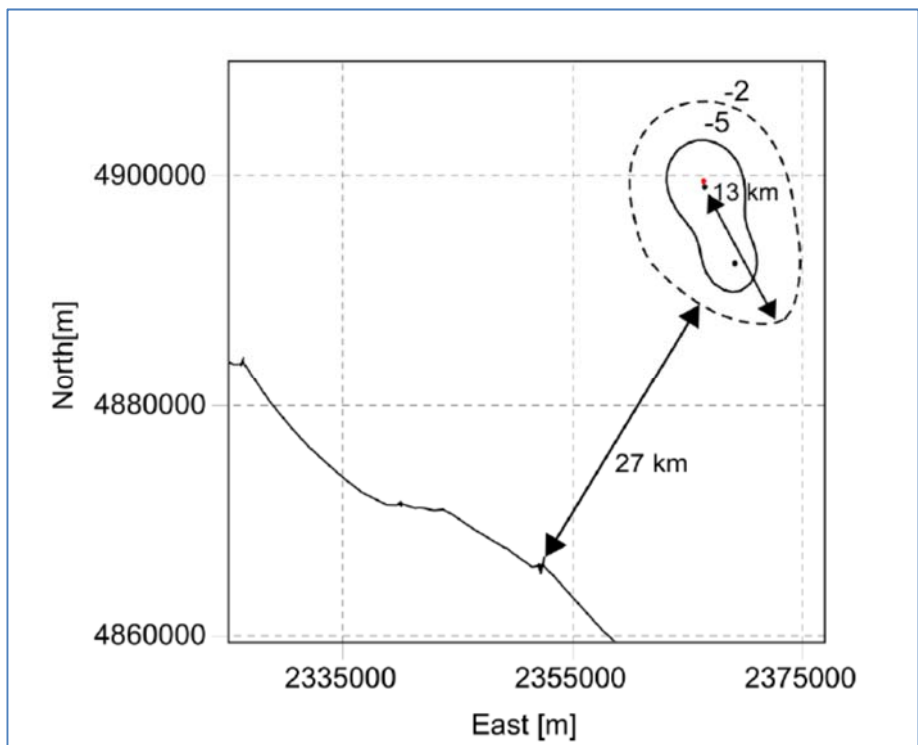


Figura 8 - Campo di Annalisa: mappa di subsidenza al 2027 (fine prod.) per lo scenario di riferimento (middle)

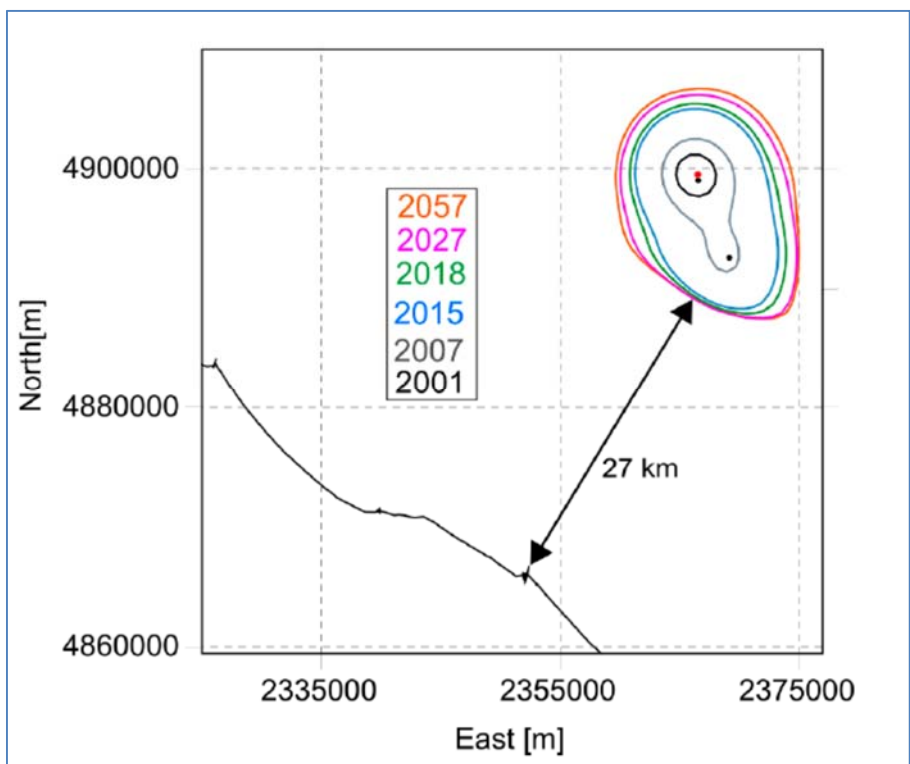


Figura 9 - Campo di Annalisa: evoluzione nel tempo della linea di iso-subsidenza di 2 cm per lo scenario di riferimento (middle)

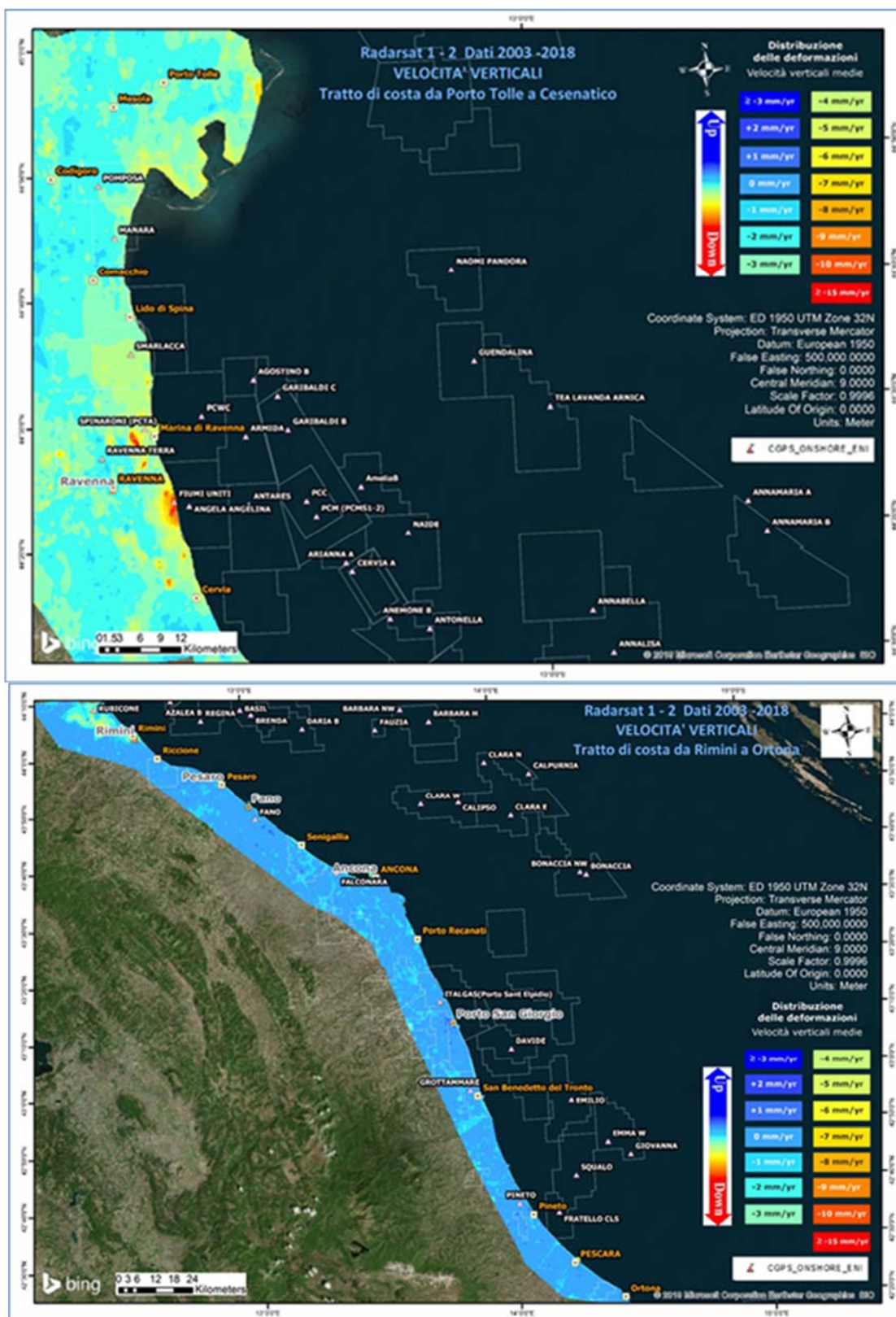


Figura 10 - Campo di Annalisa: analisi dei dati SAR dal 2003 al 2018

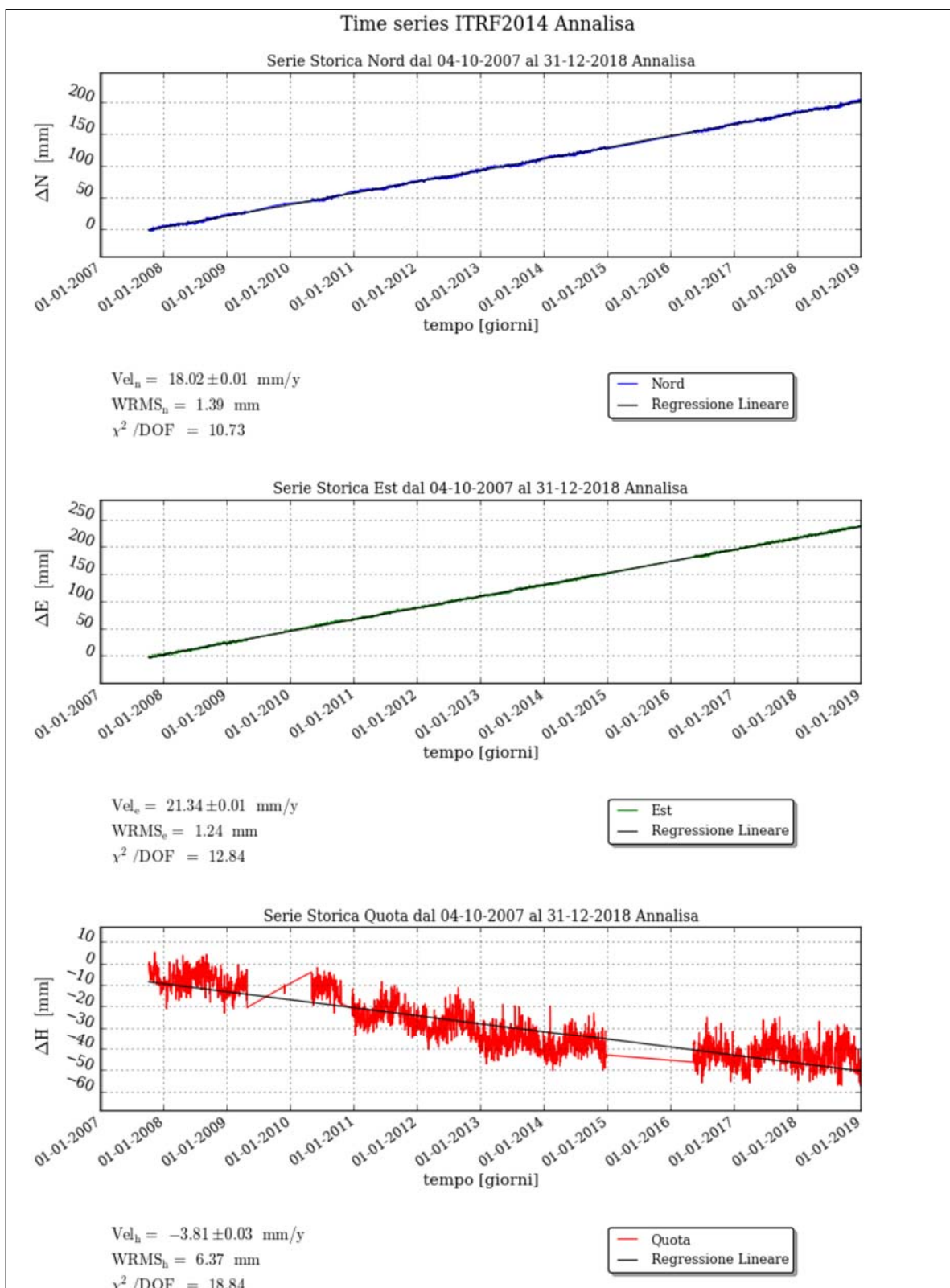


Figura 11 - Campo di Annalisa: serie storiche di misure CGPS

CAMPO	Inizio produzione	Fine produzione (rif. ultimo profilo di produzione - Mod. Eclipse)	Riserve prodotte @ dic.2018	Max subsidenza prevista (Scenario di riferimento)	Ultimo aggiornamento studio	CGPS		
						inizio registrazione	vel.media (mm/a) @ dic.2018	mesi di registrazione
ANEMONE	1978	2018	100%	36 cm al 2018	2015	giu-07	-4.8	122
ANNALISA	2000	2021	98%	9 cm al 2027	2018	ott-07	-3.8	105
ANNAMARIA B	2009	2030	76%	163 cm al 2031	2017	gen-10	-107.0	105
BARBARA NW	1999	2035	77%	44 cm al 2029	2017	gen-08	-27.9	118
BONACCIA	1999	2026	93%	233 cm al 2073	2018	dic-07	-71.2	131
BONACCIA NW	2015					set-15	-50.1	39
CALIPSO	2002	2025	87%	84 cm al 2026	2017	nov-07	-14.1	128
CALPURNIA	2000	2022	99%	14 cm al 2015	2017	giu-07	-1.0	122
CLARA EST	2000	2038	67%	69 cm al 2061	2017	nov-07	-14.3	134
CLARA NW	2016			mar-16		-25.5	33.5	
CLARA NORD	2000	2021	99%	34 cm al 2016	2017	nov-07	-19.8	134
ELETTRA	2014	2029	64%	11 cm al 2061	2017	lug-14	-21.0	53
FAUZIA	2014	2020	98%	5 cm al 2068	2017	set-14	-5.0	51
GUENDALINA	2011	2022	84%	8.5 cm al 2055	2018	ago-11	-6.3	88
NAIDE	2005	2020	98%	8 cm al 2020	2017	giu-05	-3.7	162
NAOMI - PANDORA	2001	2037	52%	2.6 cm al 2049	2017	nov-02	-2.0	198
PCME (PMS)	2001	2014	100%	6,8 cm al 2026	2016	lug-05	-4.1	161
REGINA	1997	2030	98%	130 cm al 2061	2017	giu-07	-24.1	138
TEA - LAVANDA - ARNICA	2007	2018	104%	5 cm al 2018	2015	nov-07	-4.2	134

Figura 12 - Velocità medie di "subsidenza totale" calcolate per tutta la serie storica di misure CGPS vs. modelli

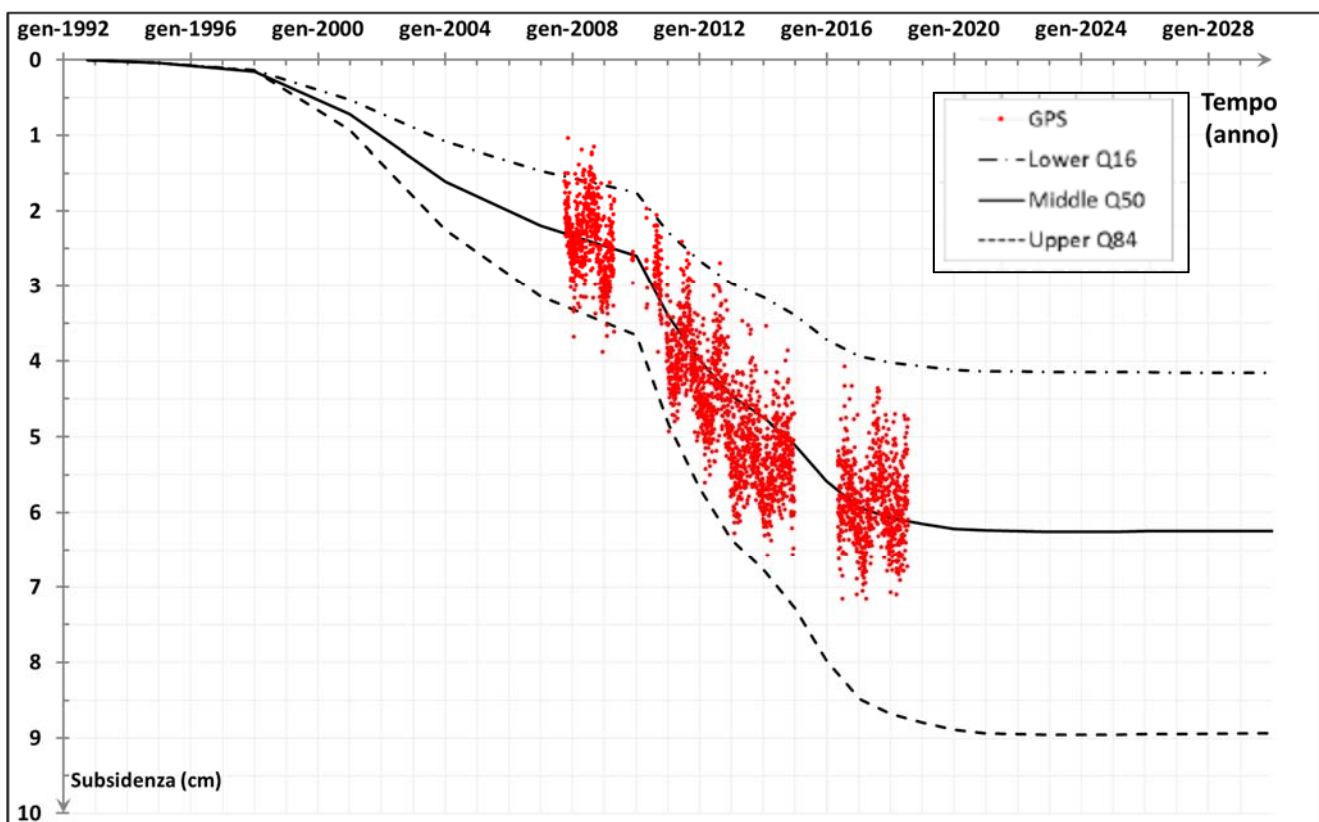


Figura 13 – Campo di Annalisa: misure CGPS vs. previsioni di subsidenza da modello

geomeccanico (in corrispondenza della piattaforma)

campo ANNALISA (Eni 100%)			
DATI DI CAMPO		DECRETO VIA n. 3547 del 7 gennaio 1999	
AGGIORNAMENTO MODELLO DI GIACIMENTO E SUBSIDENZA (ANNALISA)			
UBICAZIONE	offshore- a circa 34 km a NE di Pesaro	STUDIO DI GIACIMENTO	SIA
PROFONDITA' FONDALE	55 m	MOD. STATICO E DINAMICO ECLIPSE 3D "MARZO '97"	Campi Annabella e Annalisa - Studio di giac. Doc. N° RDR IPET-E5149F94-0 (nov. 2018)
LITOLOGIA	sabbie fini	RISERVE (MSm ³)	1659
FORMAZIONE RESERVOIR	Porto Garibaldi	MOD. GEOMECCANICO	GEERTSMA CILINDRICO
ZONA MINERARIA	PL3	MAX SUBS AL CENTRO (cm)	3,2 (dopo 10 anni)
PROFONDITA' RESERVOIR	2300-3400 (TVSS)	MAX DIST. DAL CULMINE (km)	1,6 (dopo 10 anni)
TIPO DI PIATTAFORMA	BEAP	ULTIMO AGGIORNAMENTO	
CARATTERISTICHE GEOLOGICHE	blanda anticlinale	Campi Annabella e Annalisa - Studio di giac. Doc. N° RDR IPET-E5149F94-0 (nov. 2018)	
		ELEMENTI FINITI (F.E.M.) @ 12/2018	
		9 @ 2027 (scenario di riferimento-Middle)	
		14 @ 2057 (scenario di riferimento-Middle)	
N.B.: IL MODELLO DI SUBSIDENZA E' STATO AGGIORNATO COERENTEMENTE ALLA REVISIONE DEL MODELLO DINAMICO DI CAMPO. I RISULTATI DELLO STUDIO TENGONO CONTO ANCHE DELL'INTERFERENZA CON IL VICINO CAMPO DI ANNABELLA. LA DISTANZA DEL CONO DI SUBSIDENZA DALLA COSTA RISULTA SEMPRE SUPERIORE AI 27 KM			
STATUS ATTUALE DEI MONITORAGGI			
CONCESSIONE	A.C32.AG	D.M @ gen '99	@ 31 dic 2018
DATA SCADENZA CONCESSIONE	30/11/2024		
N. POZZI	3	9	
RISERVE TECNICHE A VITA INTERA (MSm ³)	1659	1953	
START UP PRODUZIONE	mar-00		
FINE PRODUZIONE PREVISTA	2007	2021	
GAS PRODOTTO (MSm ³)			1920
% RISERVE PRODOTTE			98%
LIVELLAZIONI	ACQUISITI I DATI DI LIVELLAZIONE SUL TRATTO DI COSTA (DORSALE ADRIATICA - PESARO-PORTO S.GIORGIO) ANTISTANTE IL CAMPO NEL PERIODO 1998-2009, 2011, 2014 e 2017. I DATI FINO AL 2017 SONO STATI CERTIFICATI DALL'UNIVERSITA' DI BOLOGNA - DICAM. IL PROSSIMO RILIEVO DI ENTRAMBE LE RETI DI LIVELLAZIONE (DORSALE ADRIATICA E PESARO-PORTO S.GIORGIO) SARA' EFFETTUATO NEL CORSO DEL 2020 NEL TRATTO DI COSTA ANTISTANTE I GIACIMENTO		
MARKERS	NON PRESCRITTI		
CGPS	NEL CORSO DEL 2007 E' STATO INSTALLATO UN CGPS IN PIATTAFORMA. NEL 2008 E' STATO INSTALLATO CGPS NELLA CENTRALE ENI DI FANO (ONSHORE) NEL TRATTO DI COSTA ANTISTANTE LA PIATTAFORMA		
SAR	ACQUISITO AGGIORNAMENTO COPERTURA SAR @ ottobre 2018 DEL TRATTO DI COSTA ANTISTANTE LA PIATTAFORMA PER ANALISI INTEGRATA DEI DATI ALTIMETRICI E PER L'INSERIMENTO DELLA P.MA ANNALISA NEL PROGRAMMA DI MONITORAGGIO DELLA SUBSIDENZA. ATTUALMENTE IN CORSO IN MOLTI GIACIMENTI DELL'ADRIATICO		

Figura 14 – Campo di Annalisa: scheda di sintesi

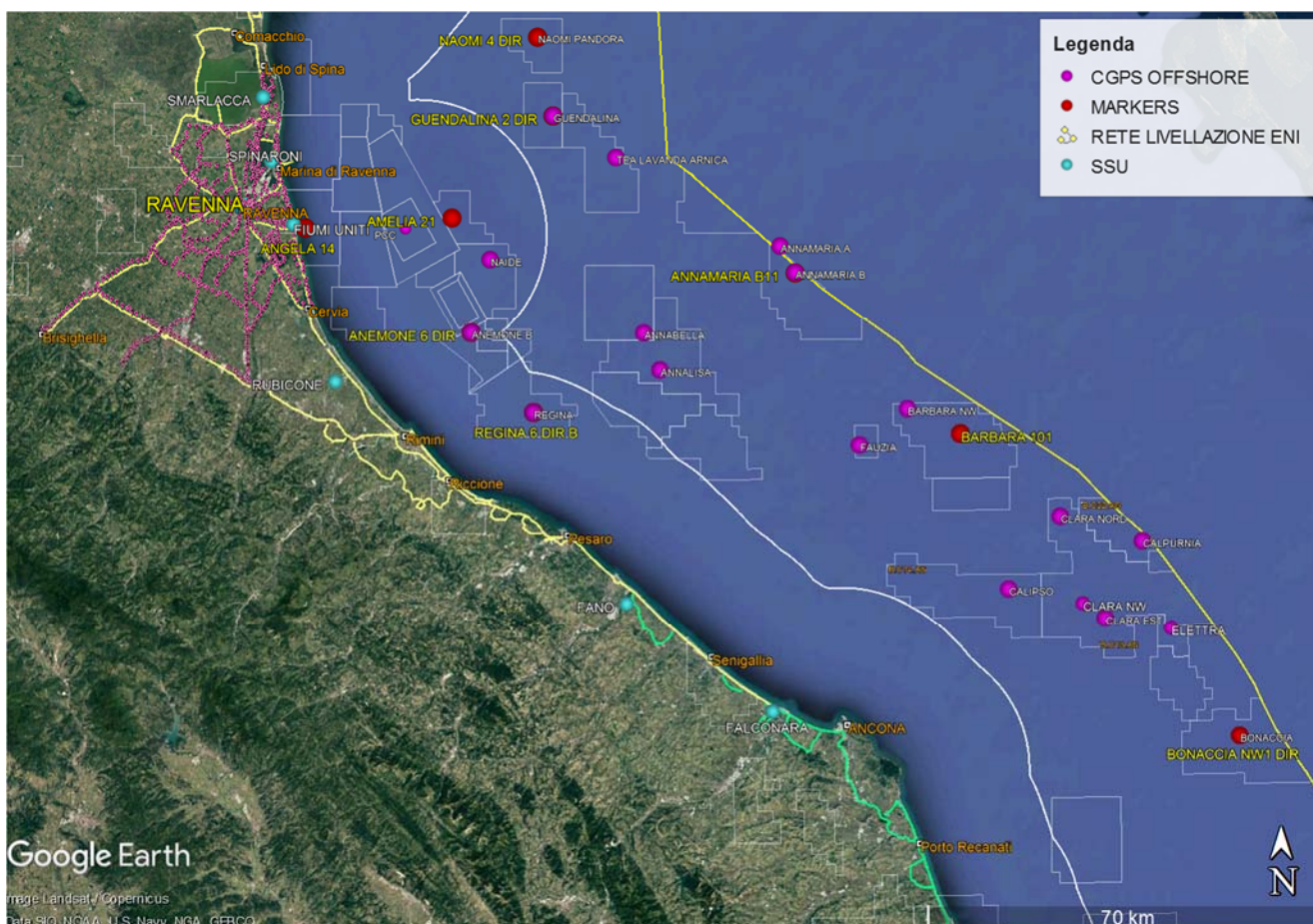


Figura 15 - Particolare della rete di monitoraggio Eni

Appendice A: aggiornamento dati SAR 2003-2018

Le elaborazioni dei dati InSAR per il periodo 2003 - 2018 sono state effettuate con lo stesso algoritmo rispetto all'elaborazione dell'anno precedente.

In seguito verrà descritto con maggior dettaglio l'algoritmo utilizzato (vedi nota a fondo paragrafo "Tecnica PSP-DIFSAR"), cercando di mettere in luce le differenze dei principali algoritmi utilizzati in interferometria radar.

Analisi dati InSAR 2003 – 2018

L'analisi dei dati SAR ha interessato una serie di data-set, elaborati in fase di processamento in modo tale da garantire continuità spaziale dei dati.

Da un'analisi delle differenze tra le velocità medie annuali misurate dai CGPS presenti nell'area di interesse e quelle dei PS (Permanent Scatterer) presenti in un intorno di circa 300 m centrato nel corrispondente CGPS (Tab. 1), si è scelto di accorpare i data-set in due macro-aree, in modo tale che la taratura del dato InSAR minimizzi le differenze tra quest'ultimo e le misure CGPS.

In Tab. 1 vengono presentate: le velocità verticali dei CGPS, V_{vert_CGPS} , e il corrispondente scarto quadratico medio sqm_CGPS (colonna 3 e 4); la media delle velocità verticali dei Permanent Scatterer nell'intorno avente come centro il CGPS corrispondente $Media_V_SAR$, e il corrispondente scarto quadratico medio sqm_SAR (colonna 5 e 6); la differenza tra le velocità CGPS e SAR e il relativo scarto quadratico medio (colonne 7 e 8). Tutte le misure sono in millimetri/anno.

	CGPS	V_{vert_CGPS} [mm/yr]	sqm_CGPS [mm/yr]	$Media_V_SAR$ [mm/yr]	sqm_SAR [mm/yr]	$Diff_VEL$ $CGPS-SAR$ [mm/yr]	sqm_diff [mm/yr]
RAVENNA	MANARA	-3.00	0.01	-0.43	0.60	-2.57	0.61
	SMARLACCA	-6.33	0.01	-3.41	1.09	-2.92	1.10
	SPINARONI	-7.50	0.01	-4.34	0.97	-3.16	0.98
	FIUMI UNITI	-14.13	0.02	-11.51	2.47	-2.62	2.49
FANO-AN- CONA	RUBICONE	-2.54	0.04	-3.13	2.01	0.59	2.05
	FANO	0.13	0.02	0.17	0.69	-0.04	0.71
	FALCONARA	-0.28	0.03	-0.23	1.43	-0.05	1.46
	ITALGAS	-0.06	0.03	0.41	1.35	-0.47	1.38

Tab. 1. Taratura dato InSAR con misure CGPS

Come si può vedere in Tab. 1 le differenze di velocità tra dati CGPS e le velocità medie di dati InSAR rappresentati nella penultima colonna hanno andamenti diversi nell'intera area, con differenze che si aggirano intorno 3 mm/anno di media per i primi 4 CGPS, mentre per gli ultimi 4 CGPS si notano differenze massime intorno al mezzo millimetro. Di conseguenza si è scelto di mosaicare i diversi data-set in due macro-aree (Fig.1):

- Area di Ravenna
- Area di Fano-Ancona

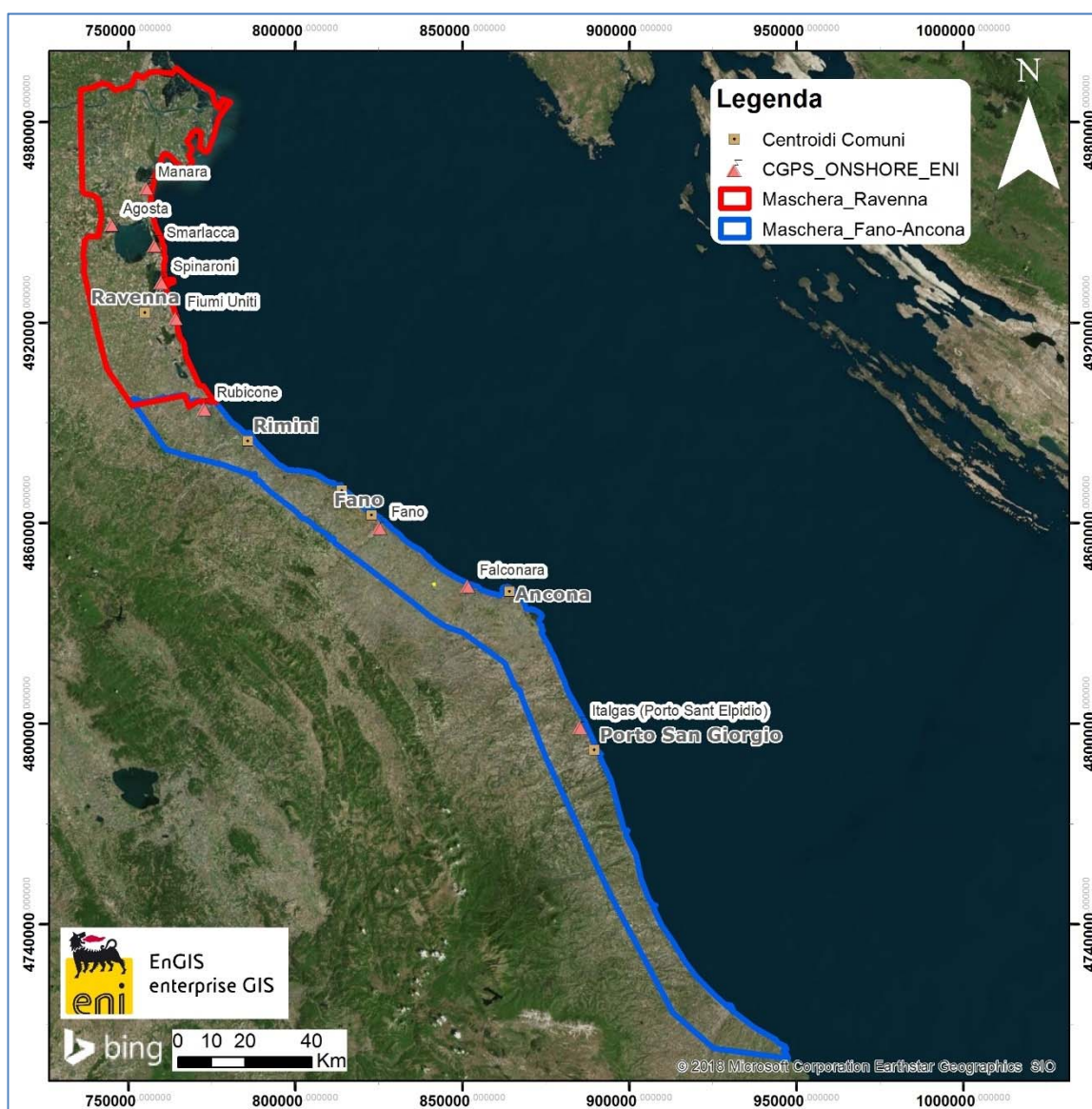


Fig. 1 – Mappa mosaicata dati InSAR

Complessivamente risultano presenti le seguenti stazioni CGPS afferenti alla rete eni:

1. Area Ravenna: Manara, Smarlacca, Spinaroni, Fiumi Uniti
2. Area Fano-Ancona: Rubicone, Fano, Falconara, Italgas

Il processo di calibrazione è stato realizzato utilizzando le informazioni derivanti dalle stazioni di monitoraggio CGPS esistenti all'interno delle aree analizzate, partendo dalle stazioni che presentano una serie storica più consistente (Smarlacca, Spinaroni e Fiumi Uniti). Si è realizzata quindi la calibrazione dei dati SAR partendo dall'area più a nord (area Ravennate), utilizzando i dati di velocità della stazione di Smarlacca; i dati delle stazioni di Fiumi Uniti e di Spinaroni e di tutte le altre stazioni, sono stati utilizzati esclusivamente come valore di verifica dei risultati ottenuti con la calibrazione.

La determinazione delle velocità verticali con dati CGPS è stata calcolata sulla serie storica totale del dato, che per quanto riguarda le postazioni di Smarlacca, Spinaroni e Fiumi Uniti ha un inizio di acquisizione leggermente anteriore rispetto a quello dei dati SAR.

Queste velocità così calcolate hanno una differenza sotto il decimo di millimetro, rispetto a quelle calcolate sullo stesso periodo di acquisizione, da considerarsi pertanto trascurabile ai fini di questo studio. L'analisi dei dati SAR non calibrati, relativi all'area ravennate nell'intorno della stazione CGPS di Smarlacca per un raggio di 300 metri, ha evidenziato una velocità media pari a -3.41 ± 1.09 mm/anno. Considerando la velocità determinata con il CGPS di -6.33 ± 0.01 mm/anno, si rileva una differenza di -2.92 ± 1.10 mm/anno.

Per questo motivo ai valori di velocità media della componente verticale determinata con il monitoraggio SAR, è stato aggiunto il valore di -2.92 ± 1.10 mm/anno. Successivamente sono stati confrontati i punti SAR, che ricadevano in un intorno di raggio pari a 300 m, rispetto ai CGPS di Manara, Fiumi Uniti e Spinaroni. Il confronto mostra delle differenze, tra i singoli CGPS e i dati SAR calibrati, sotto il mezzo millimetro: ciò conferma la validità della calibrazione effettuata. In Fig. 2 si possono visualizzare i dati InSAR ottenuti a valle del processo di calibrazione, interpolati con un algoritmo di IDW (Inverse Distance Weighted) con Tool ArcGis Spatial Analyst® per l'area di Ravenna nel tratto di costa da Porto Tolle a Cesenatico.

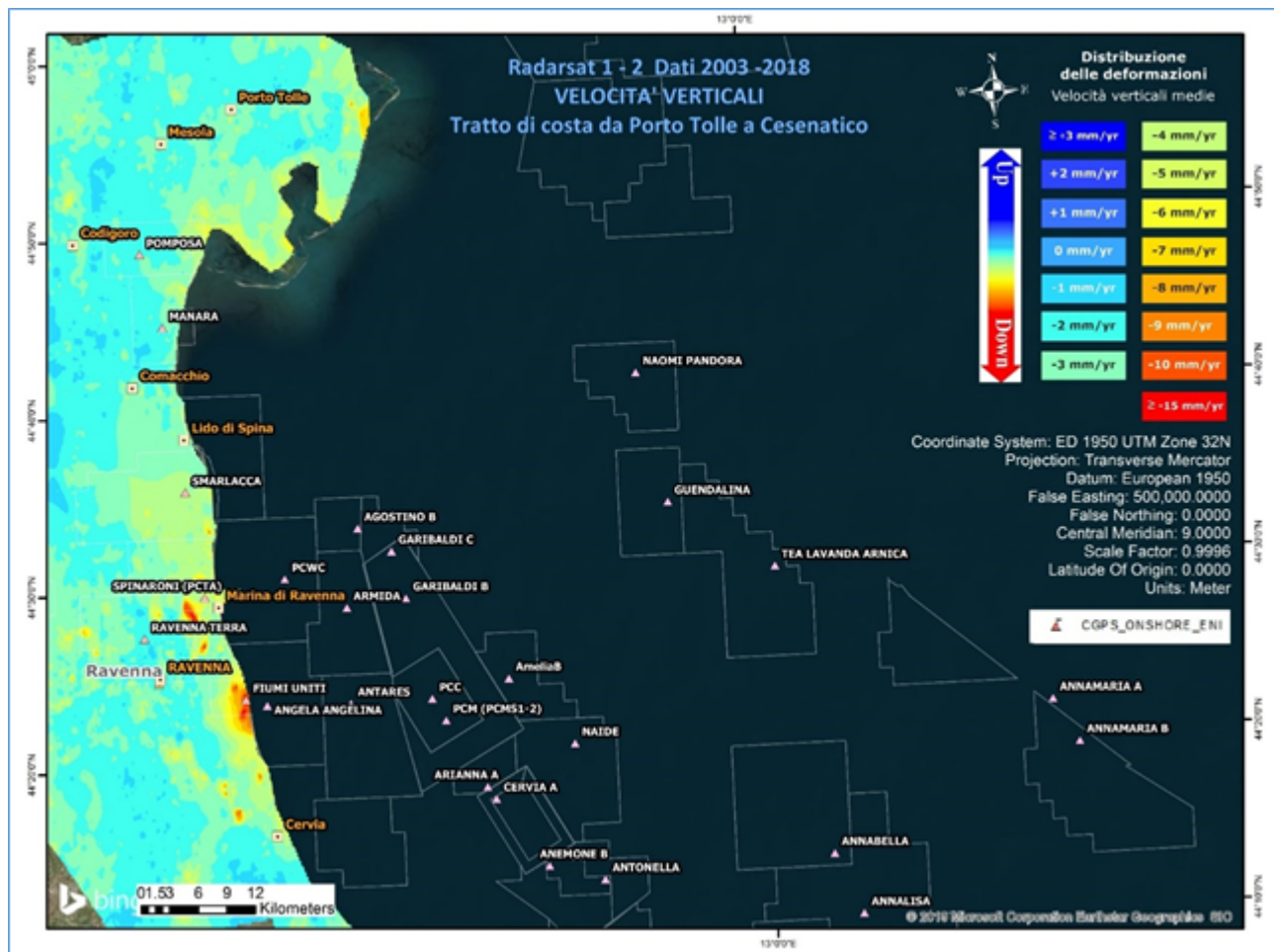


Fig. 2 - Interpolazione IDW (Inverse Distance Weighted) dei dati Radarsat 1 -2, per il periodo 2003 – 2018, con Tool ArcGis Spatial Analyst®. Tratto di costa da Porto Tolle a Cesenatico.

Come già effettuato nel 2018, l'altro data set (Area di Fano-Ancona, vedi Fig.1), verrà analizzato separatamente dall'area ravennate in quanto è stata rilevata una coerenza delle misure SAR con le misure delle stazioni CGPS interne a ciascun area.

Analizzando l'area SAR di Fano-Ancona, si evidenzia come le velocità dei CGPS di Rubicone, Fano, Falconara e Italgas siano allineate con le velocità misurate dal SAR, con uno scarto inferiore al millimetro (Tab. 1). Si fa presente che per il confronto viene considerato un intorno di circa 300 m, e la velocità dei dati SAR è una media delle velocità verticali dei Permanent Scatterer (PS) che ricadono all'interno di questo intorno. Considerata l'esiguità della differenza tra il valore misurato dal CGPS di FANO e quella del dato SAR (-0.04 ± 0.71 mm/anno), non si è ritenuto necessario eseguire una calibrazione. Come è possibile notare in Tab.1 per i vari CGPS presenti nell'area il confronto mostra delle differenze rispetto ai dati

SAR puri di circa mezzo millimetro in media. In Fig.3 è visualizzata l'interpolazione dei dati mosaicati, per l'area Fano-Ancona nel tratto di costa da Rimini ad Ortona. L'interpolatore utilizzato è l'algoritmo di IDW (Inverse Distance Weighted) con Tool ArcGis Spatial Analyst®.

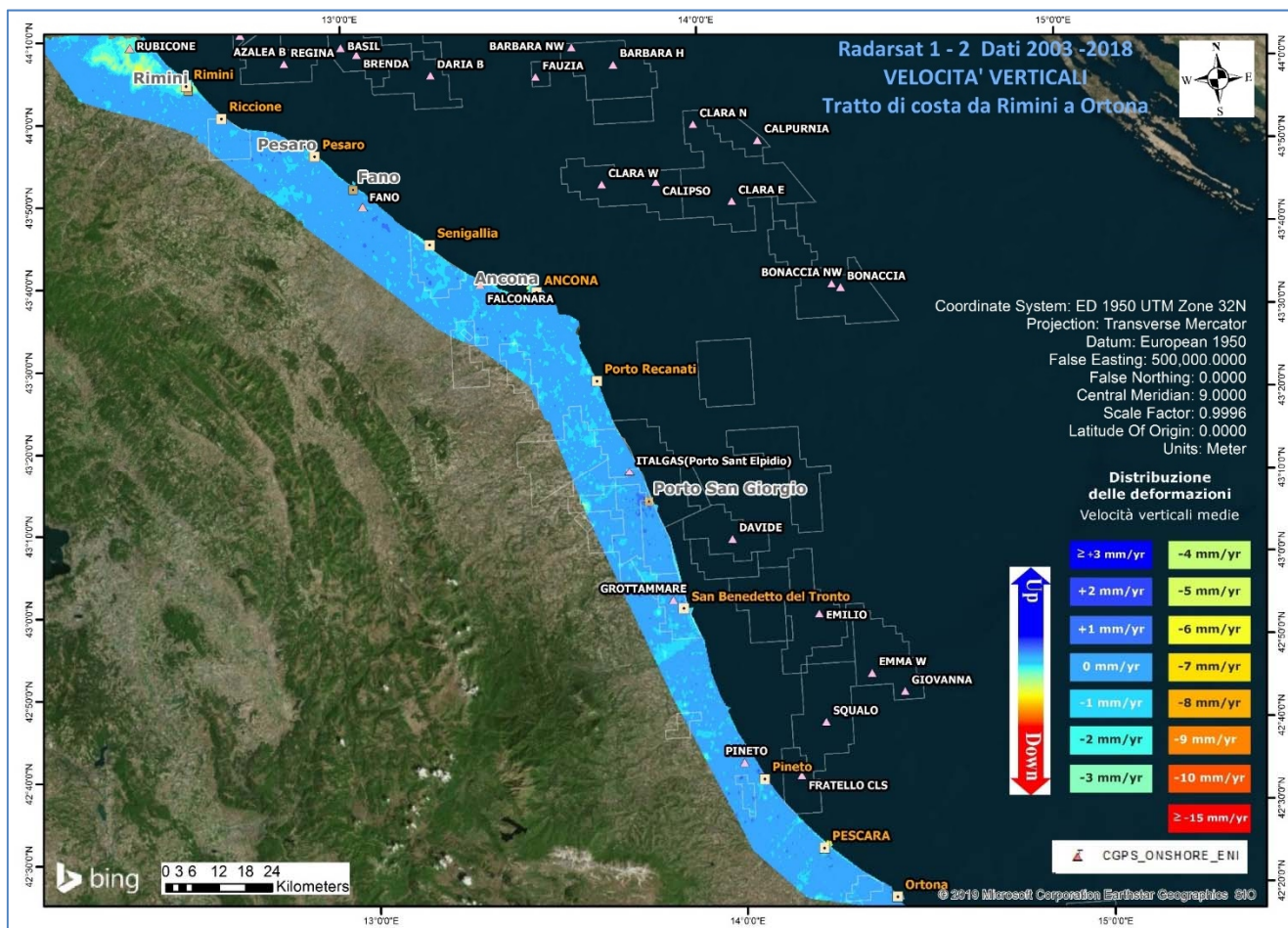


Fig. 3 - Interpolazione IDW (Inverse Distance Weighted) dei dati Radarsat 1 -2, per il periodo 2003 – 2018, con Tool ArcGis Spatial Analyst®. Tratto di costa da Rimini ad Ortona.

Confronto dati SAR 2003 – 2017 vs 2003 – 2018

Il processo di sottrazione tra IDW 2018 e IDW 2017 permette di evidenziare graficamente eventuali differenze nell'andamento medio delle velocità verticali.

Come mostrato in Fig. 4 e Fig. 5 la sottrazione tra i due IDW non mostra differenze importanti, ed in ogni caso rientranti all'interno della deviazione standard dichiarata. Per quanto riguarda punti spot che mostrano differenze più marcate (come ad esempio un'area a ovest di Comacchio o una ad est di Porto Tolle), da un'attenta analisi del dato si è riscontrato come si tratti di aree in cui i dati SAR sono assenti o molto esigui, per cui l'interpolazione IDW ha generato un dato non attendibile per un anno o il successivo, da cui differenze non realistiche.

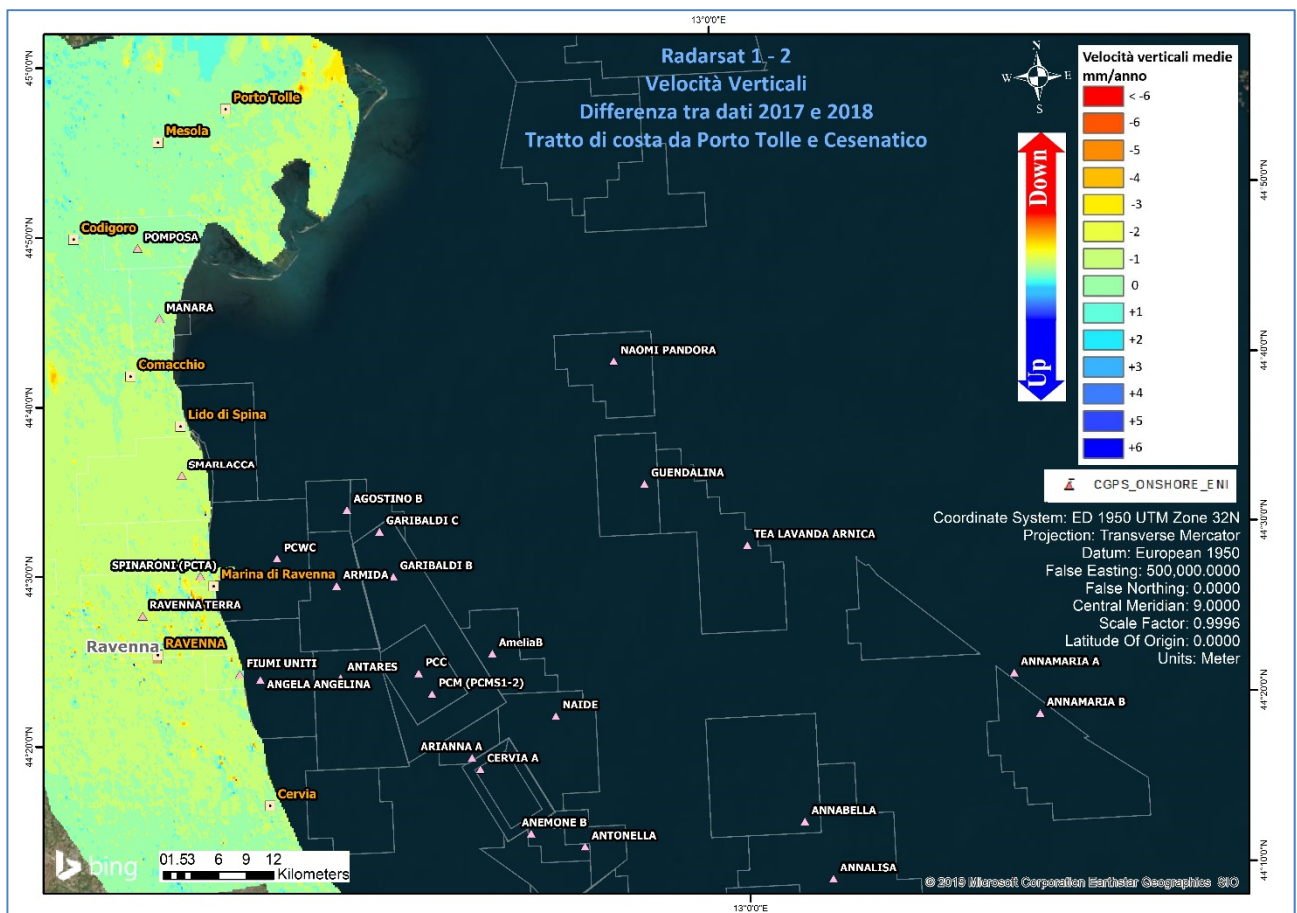


Fig. 4 – Mappa delle differenze prodotta tra il database 2003-2017 e il 2003-2018, utilizzando il Tool Math – Spatial Analyst® di ArcGIS™. Tratto di costa da Porto Tolle a Cesenatico.

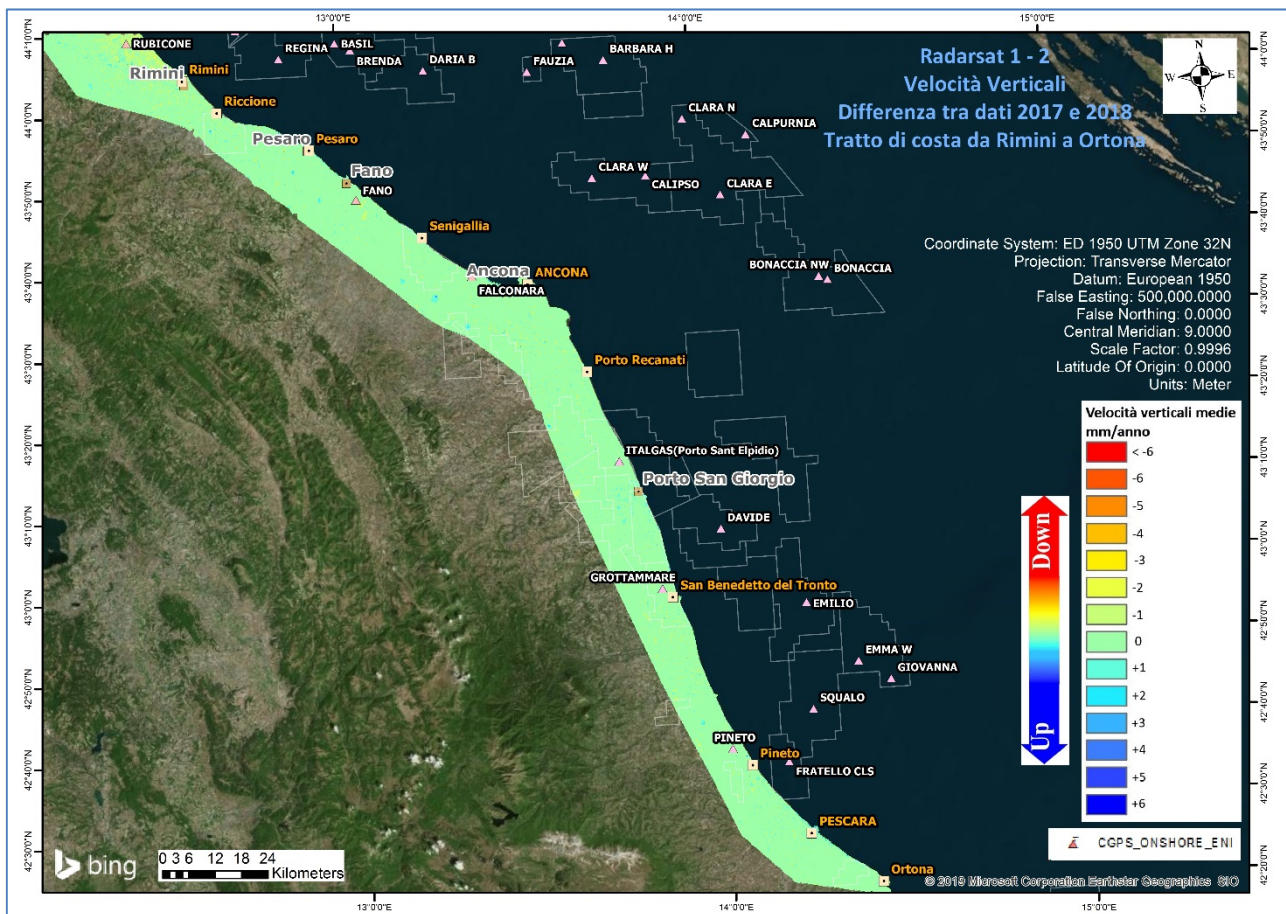


Fig. 5 – Mappa delle differenze prodotta tra il database 2003-2017 e il 2003-2018, utilizzando il Tool Math – Spatial Analyst® di ArcGIS™. Tratto di costa da Rimini a Ortona.

Tecnica PSP-DIFSAR (Estratto dalle Linee guida MATTM 2009)

La tecnologia interferometrica PSP-DIFSAR sviluppata da Telespazio/e-GEOS (<http://www.telespazio.it> / <http://www.e-geos.it>) è una tecnica d'interferometria differenziale SAR di tipo Persistent Scatterer Interferometry (PSI) che utilizza una procedura algoritmica proprietaria per l'individuazione e l'analisi dei Persistent Scatterer (PS) su lunghe serie di immagini SAR (radar ad apertura sintetica), allo scopo di misurare movimenti lenti del terreno dovuti a frane, subsidenza, fenomeni vulcanici e sismici (Costantini et al., 2005). I PS corrispondono generalmente ad elementi al suolo, come manufatti (ad esempio, parti di edifici, antenne, tralicci, elementi metallici in genere) oppure corpi naturali (ad esempio, rocce esposte) che si distinguono dagli altri, presenti nell'area esaminata, per il fatto di possedere

un'elevata stabilità nel tempo della cosiddetta "firma radar". Questi punti presentano caratteristiche tali da permettere misure estremamente accurate della distanza sensore-bersaglio così da poter evidenziare spostamenti relativi dei PS nel tempo anche solo di pochi millimetri. L'interferometria differenziale si basa su un sensore SAR a bordo di un satellite che invia un impulso elettromagnetico verso la superficie terrestre e riceve il segnale retrodiffuso. Misurando il ritardo di fase tra il segnale inviato e quello retrodiffuso si può determinare con estrema precisione la distanza tra il sensore ed il bersaglio. Se l'oggetto si trova in un'area soggetta a fenomeni di deformazione superficiale, il sensore, passando in istanti successivi sulla stessa area di interesse, rileva tra un'acquisizione e l'altra una variazione di distanza. Questo dato, dopo una complessa elaborazione per l'identificazione dei punti di misura e la rimozione dei contributi spuri (ritardi atmosferici, imprecisione nella conoscenza delle orbite, ecc.), rende possibili misure estremamente accurate di eventuali spostamenti superficiali lenti dell'area di interesse. Una delle peculiarità del metodo PSP è quella di sfruttare solo le proprietà del segnale relative a coppie di punti vicini, sia per identificare sia per analizzare i Persistent Scatterer. Infatti, due punti vicini sono affetti allo stesso modo da artefatti atmosferici ed orbitali, ed in generale da tutti i contributi correlati spazialmente (anche i movimenti non lineari nel tempo). Il metodo PSP presenta le seguenti differenze rispetto alle tecniche PSI standard: non richiede calibrazione dei dati o interpolazioni basate su modelli (in particolare per la rimozione degli artefatti atmosferici ed orbitali) è meno sensibile alla densità dei PS e permette una migliore identificazione dei PS in terreni naturali e dei PS caratterizzati da movimenti non lineari nel tempo; in aggiunta è computazionalmente efficiente ed altamente parallelizzabile. La densità dei PS individuati è solitamente molto elevata in corrispondenza dei centri urbani e di aree rocciose mentre è praticamente nulla nelle zone vegetate o perennemente innevate. L'insieme dei PS sul territorio costituisce una rete naturale di "capialdi radar", concettualmente analoga ad una rete di stazioni GPS (Global Positioning System) permanente. La loro densità su scala regionale è però ordini di grandezza superiore a quanto ottenibile con reti geodetiche convenzionali, fornendo un quadro d'insieme a costi decisamente più bassi rispetto a queste, dato che il sensore rileva punti di misura che non richiedono alcun intervento di installazione e manutenzione trovandosi già sul terreno.

Appendice B: Stazioni *EPSU* lungo la fascia costiera compresa tra Cervia e Ancona - aggiornamento a dicembre 2018

Il monitoraggio della compattazione superficiale lungo la fascia costiera adriatica compresa tra Cervia e Ancona, è effettuato tramite 3 stazioni *EPSU* (Extensometric Piezometric Survey Unit) denominate: Rubicone, Fano e Falconara. L'ubicazione di tali stazioni, installate tra il 2008 e il 2009, è riportata in Figura 1B.

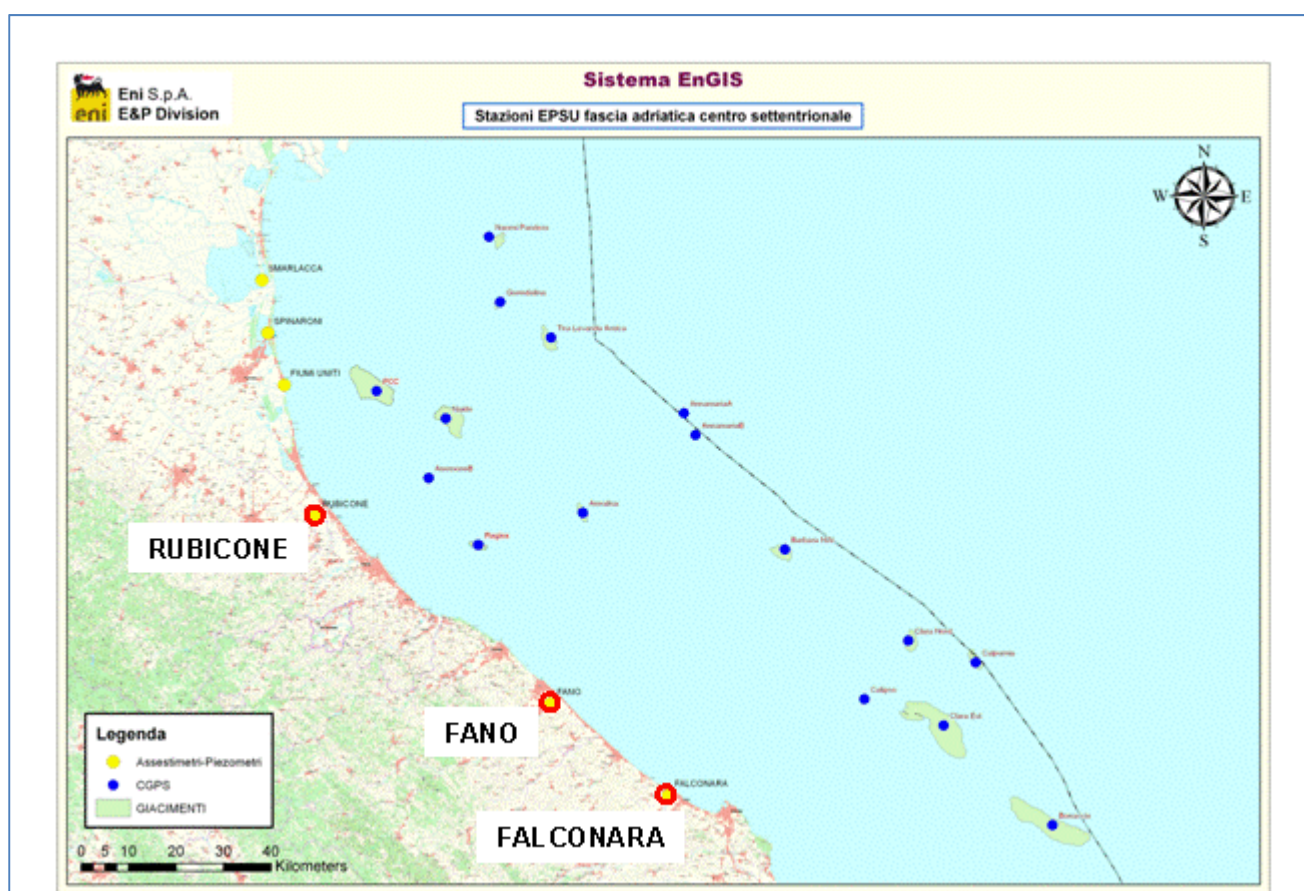


Figura 1B - Ubicazione delle stazioni *EPSU*

In generale una stazione *EPSU* è costituita da un assestometro, associato a uno o più piezometri, con il corredo di strumentazione meteorologica per la misura della temperatura e della pressione atmosferica (termometri sia in foro che in superficie, e un barometro in modo da compensare le misure assestimetriche per le variazioni della temperatura e pressione atmosferica) come schematicamente rappresentato in Figura 2B.

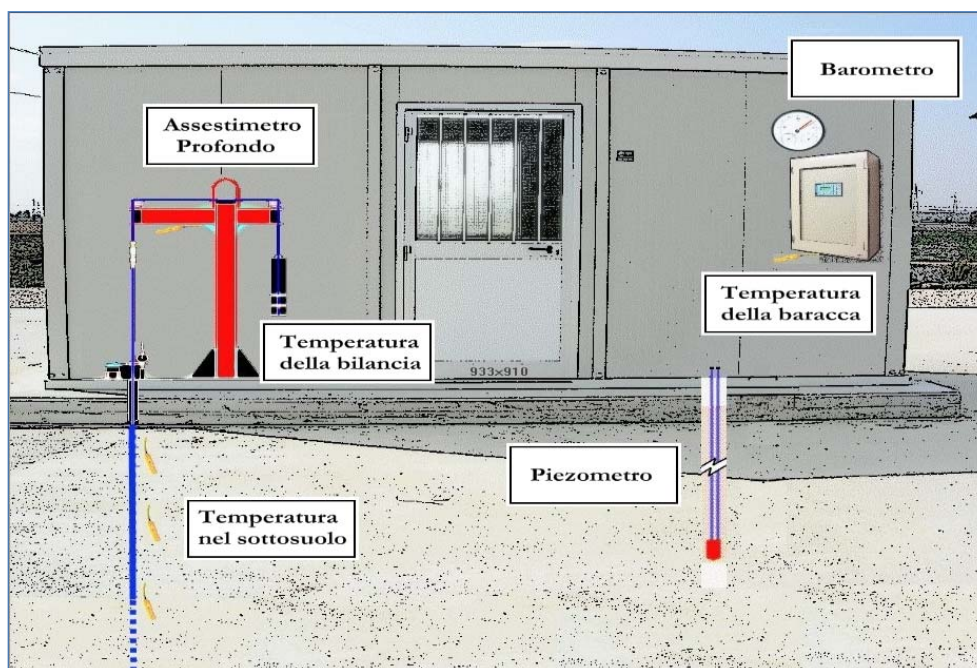


Figura 2B - Rappresentazione schematica di una stazione EPSU

Più in dettaglio, nelle 3 stazioni *EPSU* sono stati installati i seguenti dispositivi di misura:

Località	Pozzo	Strumentazione	Profondità (da P.C.)	Data d'installazione
Rubicone	CGRA-1	Assestimetro profondo	320 m	Gen. 2009
	CGRP-1	Piezometro cella singola	178 m	Gen. 2009
	CGRP-2	Piezometro cella doppia	146 m e 70 m	Gen. 2009
Fano	CGFNA-1	Assestimetro superficiale	40,8 m	Lug. 2008
	CGFNP-1	Piezometro superficiale	6,1 m	Lug. 2008
Falconara	CGFLA-1	Assestimetro superficiale	40,3 m	Lug. 2008
	CGFLP-1	Piezometro cella singola	22 m	Lug. 2008

Per ciascuna stazione *EPSU* vengono di seguito presentati:

1. le principali caratteristiche;
2. grafici con tutti i dati registrati.

N.B.: Nella lettura dei dati riportati sui grafici relativi agli assestimetri, i valori positivi costituiscono la componente della compattazione (riduzione dello spessore dello strato di sottosuolo attraversato dall'assestimetro); al contrario i valori negativi costituiscono la componente dell'espansione (aumento dello spessore dello strato di sottosuolo attraversato dall'assestimetro).

Stazione *EPSU* di RUBICONE (installata dicembre 2009)

Strumentazione:

- assestometro - quota bottom: 320 m da p.c.
- piezometro singolo - quota cella: 178 m da p.c.
- piezometro doppio - quota celle: 146 e 70 m da p.c.

La strumentazione messa in opera nella stazione è illustrata schematicamente nella Figura 3B e Figura 4B, mentre la Figura 5B presenta in dettaglio la litologia dei terreni attraversati dal pozzetto assestimetrico. Le coordinate WGS84 della stazione sono: 44°09' 6.76"N e 12° 24' 36.37"E. La raccolta dati è iniziata l'8 aprile 2009. A tale data (in occasione del collaudo) è stato fatto "lo zero" dei sensori di misura.

I dati sono stati acquisiti con regolarità secondo la seguente frequenza:

- 08 aprile 2009 - 22 maggio 2009: una misura ogni ora;
- 22 maggio 2009 - 2 novembre 2009: una misura ogni 2 ore;
- dal 02 novembre 2009: una misura ogni 6 ore.

Le misure sono state fatte con alimentazione a batteria fino al 22 maggio 2009. Da tale data fino al 14 luglio 2009 non si hanno registrazioni a causa dei lavori di messa a norma della baracca secondo la normativa ATEX. Dal 14 luglio è ripreso il normale ciclo di funzionamento della stazione. Nel 2011 c'è da segnalare un blackout di dati per mancanza di alimentazione dell'apparecchiatura tra il 29 settembre e il 14 ottobre.

A dicembre 2017 è stata fatta manutenzione straordinaria dei tre piezometri con spurgo e lavaggio dei piezometri della stazione. Per i due piezometri ubicati sulla stessa verticale - quello superficiale e l'intermedio (70 e 146 m da p.c.) - il lavaggio con acqua in pressione ha consentito di escludere che vi era comunicazione idraulica fra gli stessi. Le celle e i tubi di tutti e tre i piezometri (tipo Casagrande) sono risultati perfettamente integri: le letture manuali, effettuate subito dopo lo spurgo e durante la fase di ricarica della falda, sono risultate attendibili presentando per tutti i piezometri un dislivello massimo tra i due tubi compreso tra 0 e 1 cm. Tutti i piezometri revisionati sono risultati integri e affidabili per restituzione dei dati. L'ultima verifica generale della strumentazione, con controlli manuali dei livelli piezometrici e taratura di tutti i sensori è stata fatta in giugno, luglio e ottobre 2018.

Analisi dei dati assestimetrici

L'assestimetro misura la compattazione degli strati di terreno compresi tra il piano campagna (p.c.) e il punto più profondo d'ancoraggio dello strumento (320 m da p.c.).

Nei grafici allegati (Figura 6B) sono riportati per un confronto sia i dati piezometrici, sia quelli assestimetrici. I dati relativi all'assestimetro sono espressi in millimetri e riportano gli spostamenti misurati rispetto a un valore base iniziale ("misura di zero").

Tale misura è quella dell'8 aprile 2009, data di collaudo del sistema. I valori positivi degli spostamenti nel grafico dell'assestimetro indicano una compattazione, quelli negativi, viceversa, un incremento dello spessore (cioè espansione) degli strati di terreno monitorati. Nel caso della stazione di Rubicone, l'andamento nel tempo della curva di compattazione/espansione registrata dall'assestimetro si correla molto bene con le variazioni di livello dell'acqua nelle tre falde monitorate dai piezometri rispettivamente a 70 m, 146 m e 178 m di profondità.

Per tutto il periodo osservato si nota, infatti, un ritardo medio di circa 1.5÷2 mesi nella espansione/compattazione del terreno rispetto all'escursione massima (marzo/aprile) e minima (agosto/settembre) dei livelli di tali falde, Figura 7B confronto delle misure piezometrica profonda e assestimetrica dell'ultimo anno.

Nella stessa area della stazione assestimetrica è installata anche una postazione CGPS. Ciò ha permesso un confronto fra la velocità media d'abbassamento del suolo rilevata dai dati CGPS con quella di compattazione del terreno ottenuta dalle misure assestimetriche (Figura 8B). Tali velocità, che si riferiscono però a fenomeni fisici diversi anche se collegati fra loro, sono risultate in sostanziale accordo, soprattutto a partire dal 2012. La velocità media annua, calcolata con regressione lineare, della serie storica di misure CGPS è di -2.54 mm/a, abbastanza prossima a quella ottenuta, in modo analogo, dalle misure assestimetriche, che è pari a -2.81 mm/a.

Ciò potrebbe indicare che la causa principale d'abbassamento del suolo dipenda principalmente dalla compattazione dei primi 320 m di terreno e sia indotta dalle oscillazioni stagionali del livello delle falde acquifere e/o dal loro emungimento.

Si segnala, inoltre, che per comodità di lettura del grafico:

- le misure del CGPS sono state filtrate con una media mobile su 50 campioni per meglio evidenziarne l'andamento;
- i valori della curva assestimetrica sono stati riportati in ordine inverso, così da renderne l'andamento coerente quello della curva CGPS (spostamenti delle curve verso l'alto indicano sollevamenti del terreno e viceversa).

Analisi dei dati piezometrici

Nei grafici dei piezometri (Figura 6B) l'ordinata è la quota piezometrica (m), ovvero la profondità del livello dell'acqua all'interno del tubo piezometrico riferita al piano campagna. Nello stesso grafico (come seconda ordinata) è riportato il valore della pressione barometrica.

Nel caso di Rubicone si notano delle effervescenze gassose nei tubi piezometrici causate dalla presenza di piccole quantità di gas nell'acqua; il fenomeno del resto era già osservato durante le operazioni di messa in opera dell'attrezzatura. Queste piccole effervescenze causano differenze di misura dei livelli d'acqua nei due tubi del piezometro profondo (pozzo CGRP-1). Nel mese di ottobre 2012 si sono puliti e controllati i 3 piezometri verificando il loro buon funzionamento. Un nuovo spurgo è stato fatto a fine settembre 2014 e si può osservare dai grafici dei piezometri, soprattutto per la curva relativa a quello superficiale, che a partire da tale data si è modificata la dinamica dell'escursione del livello dell'acqua.

A dicembre 2017, come già detto, è stata fatta una manutenzione straordinaria con spurgo e lavaggio dei tre piezometri. Sono stati controllati anche tutti i trasduttori di pressione. L'affidabilità di questi ultimi, in particolare, è stata accertata facendo diverse misure manuali con freatimetro. Queste sono risultate del tutto in linea con le misure automatiche, consentendo di concludere che tutti i trasduttori erano perfettamente funzionanti e affidabili. Nella stessa occasione sono state fatte misure di fondo foro.

Nel corso del 2018, controlli sulla strumentazione piezometrica sono stati effettuati nei mesi di giugno, luglio ed ottobre, nel controllo di giugno è stato sostituito un trasduttore di pressione del piezometro a 178m. Ad oggi (dicembre 2018) tutti i piezometri e relativi trasduttori, risultano integri ed in grado di fornire dati attendibili.

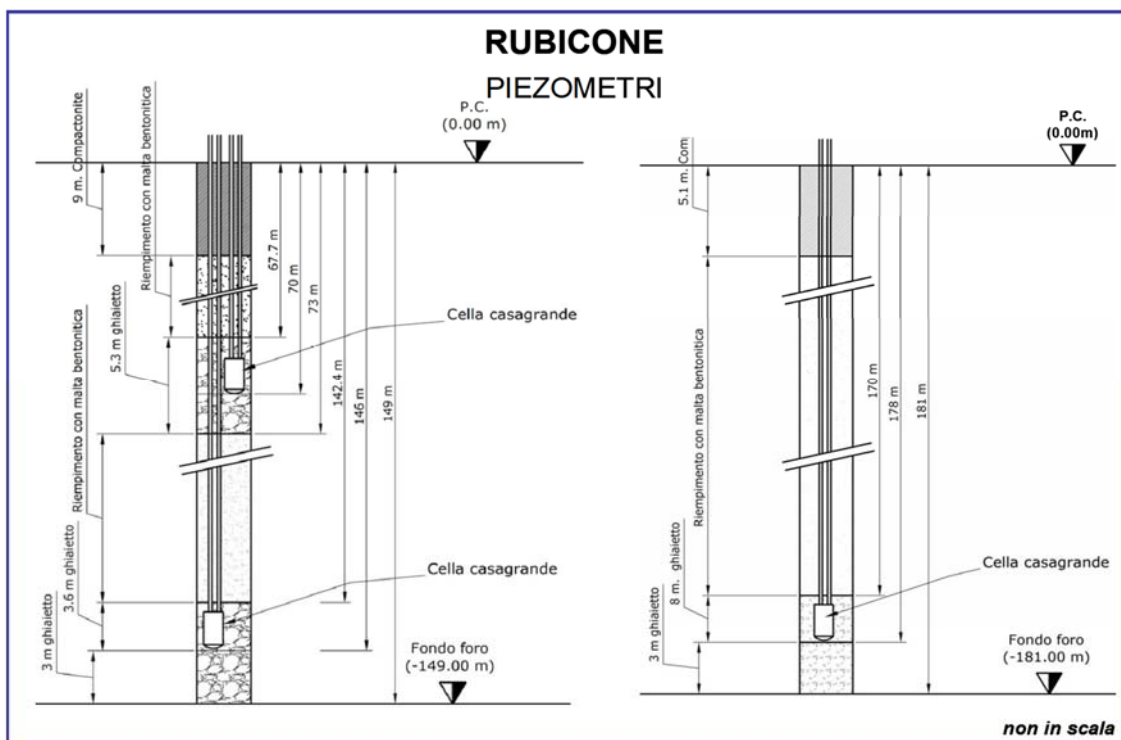


Figura 3B - Schema della stazione EPSU di Rubicone

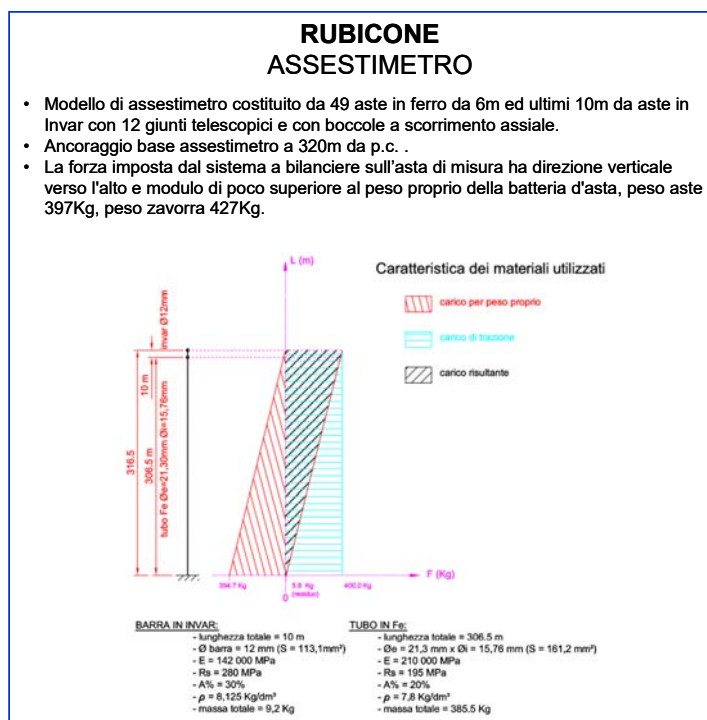


Figura 4B - Particolare di un assestimetro

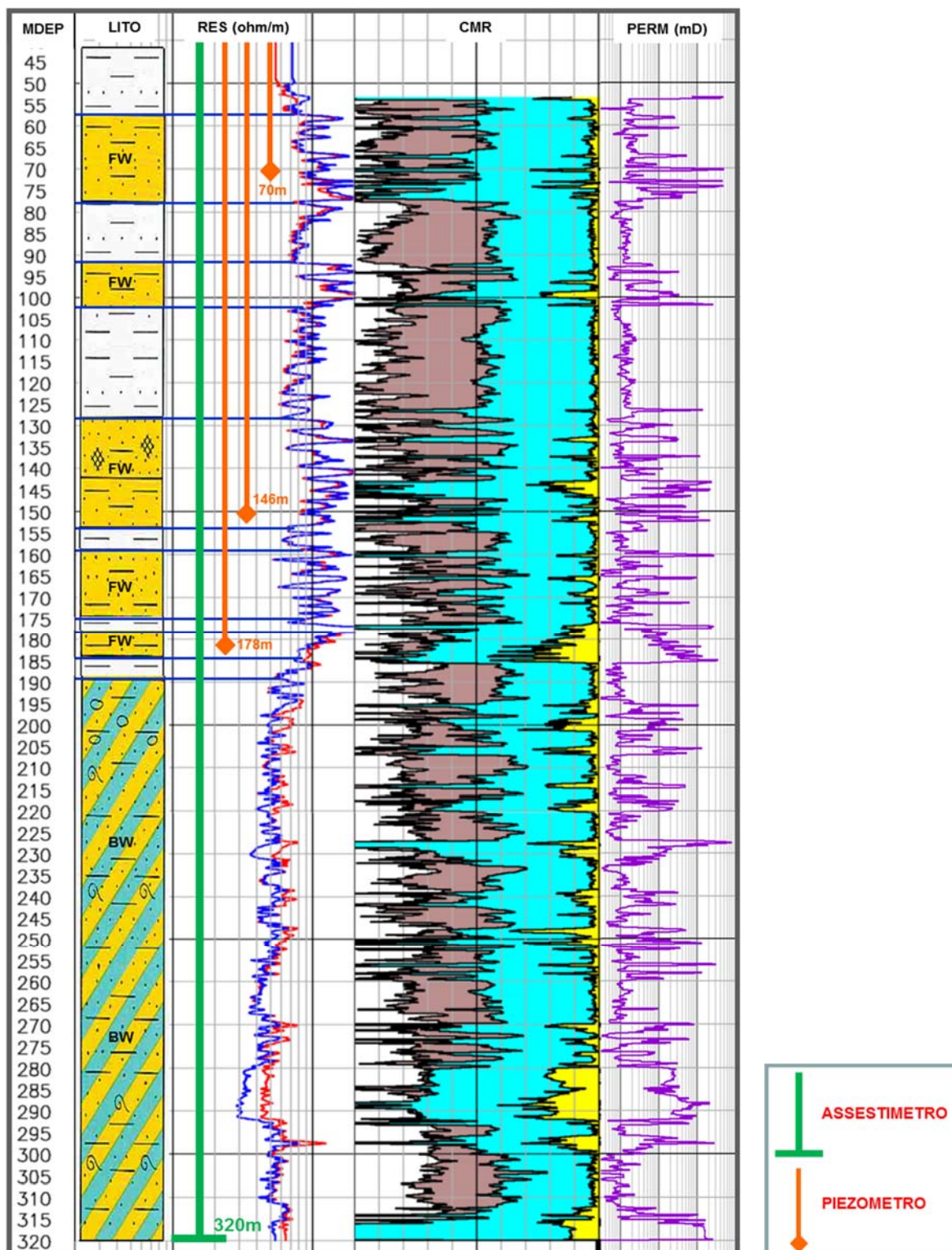


Figura 5B - Litologia dei terreni monitorati dalla stazione EPSU di Rubicone

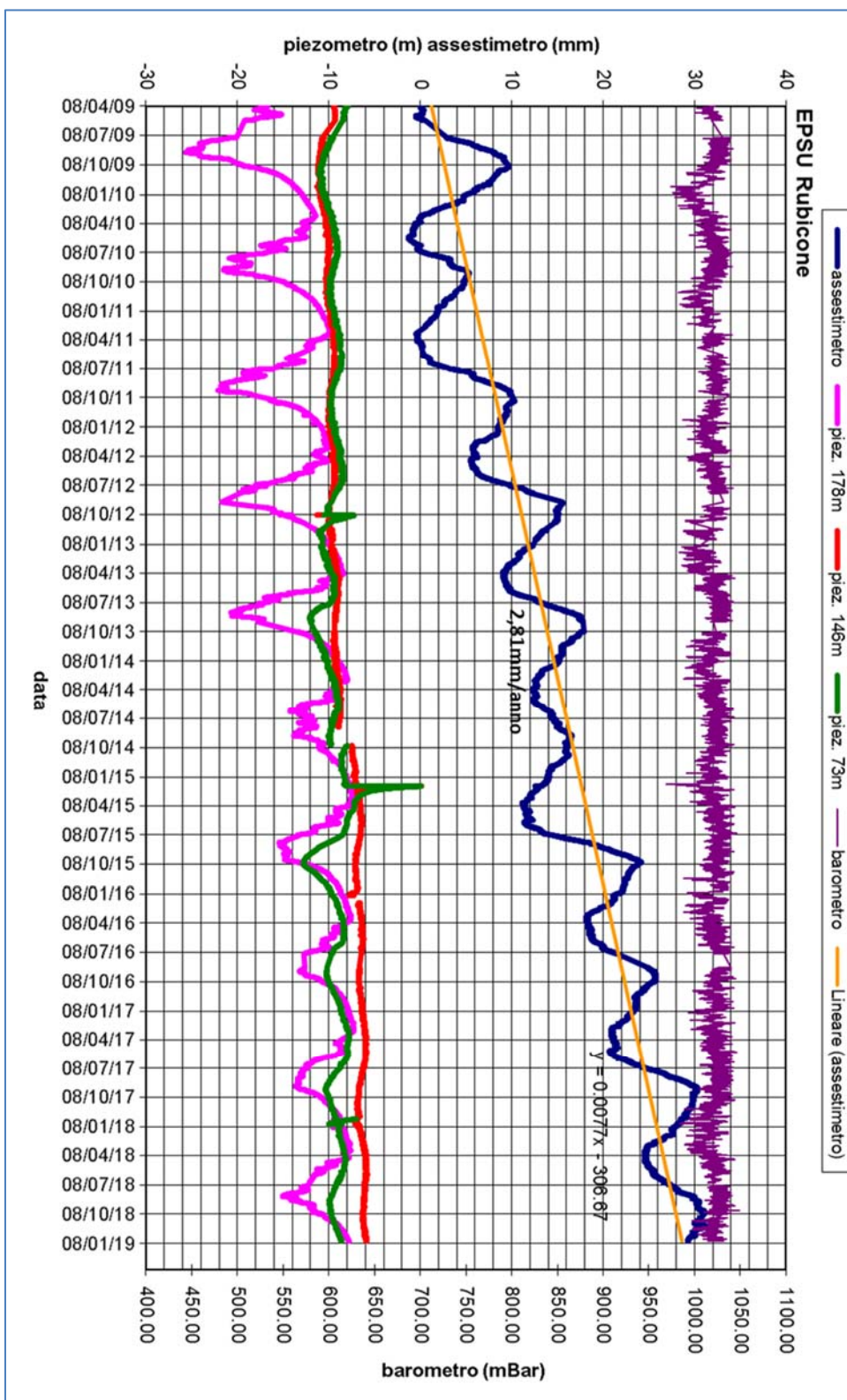


Figura 6B - Stazione EPSU di Rubicone: misure piezometrico-assestimetriche

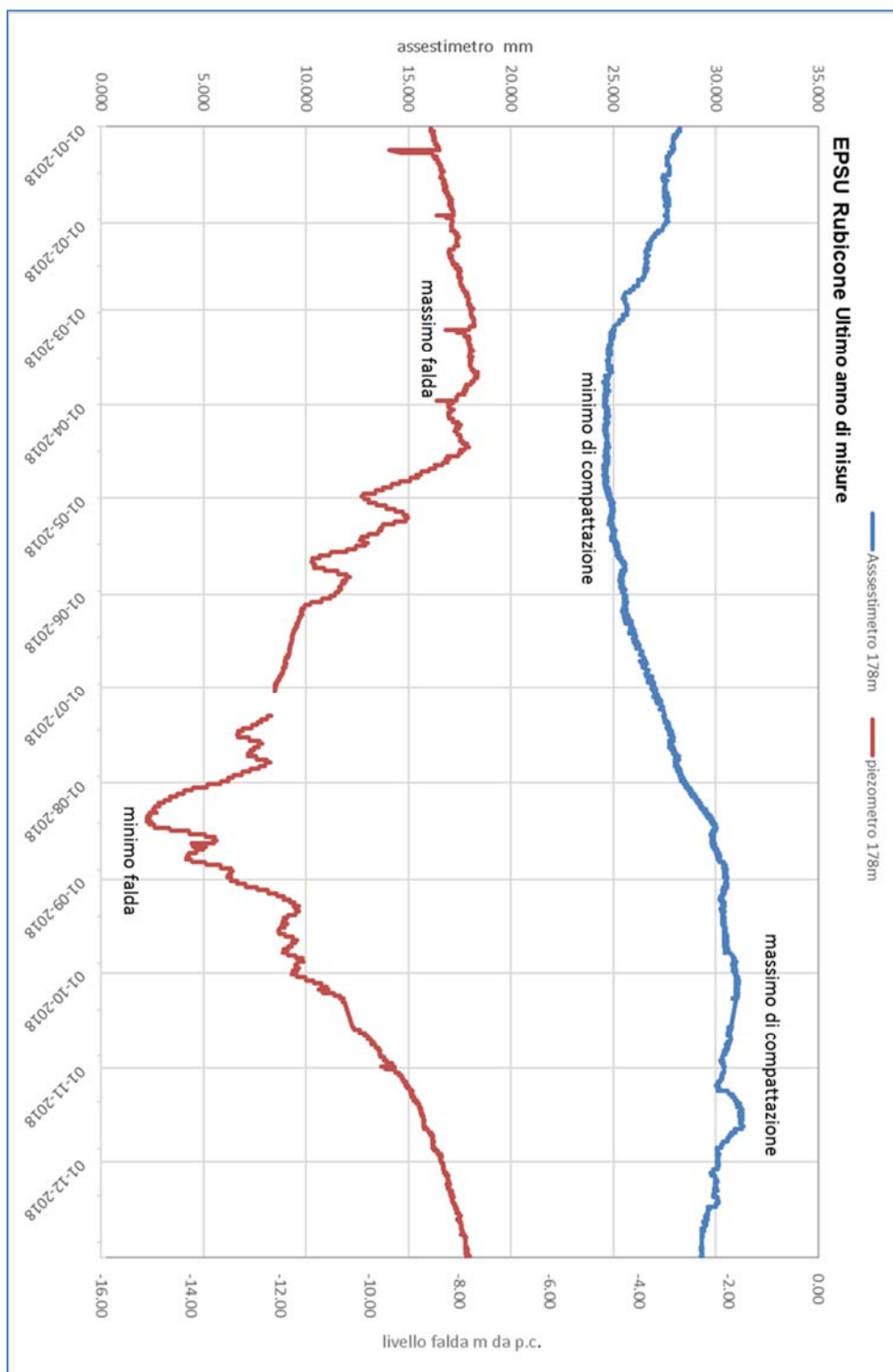


Figura 7B - Stazione EPSU di Rubicone: misure piezometrico-assestometriche

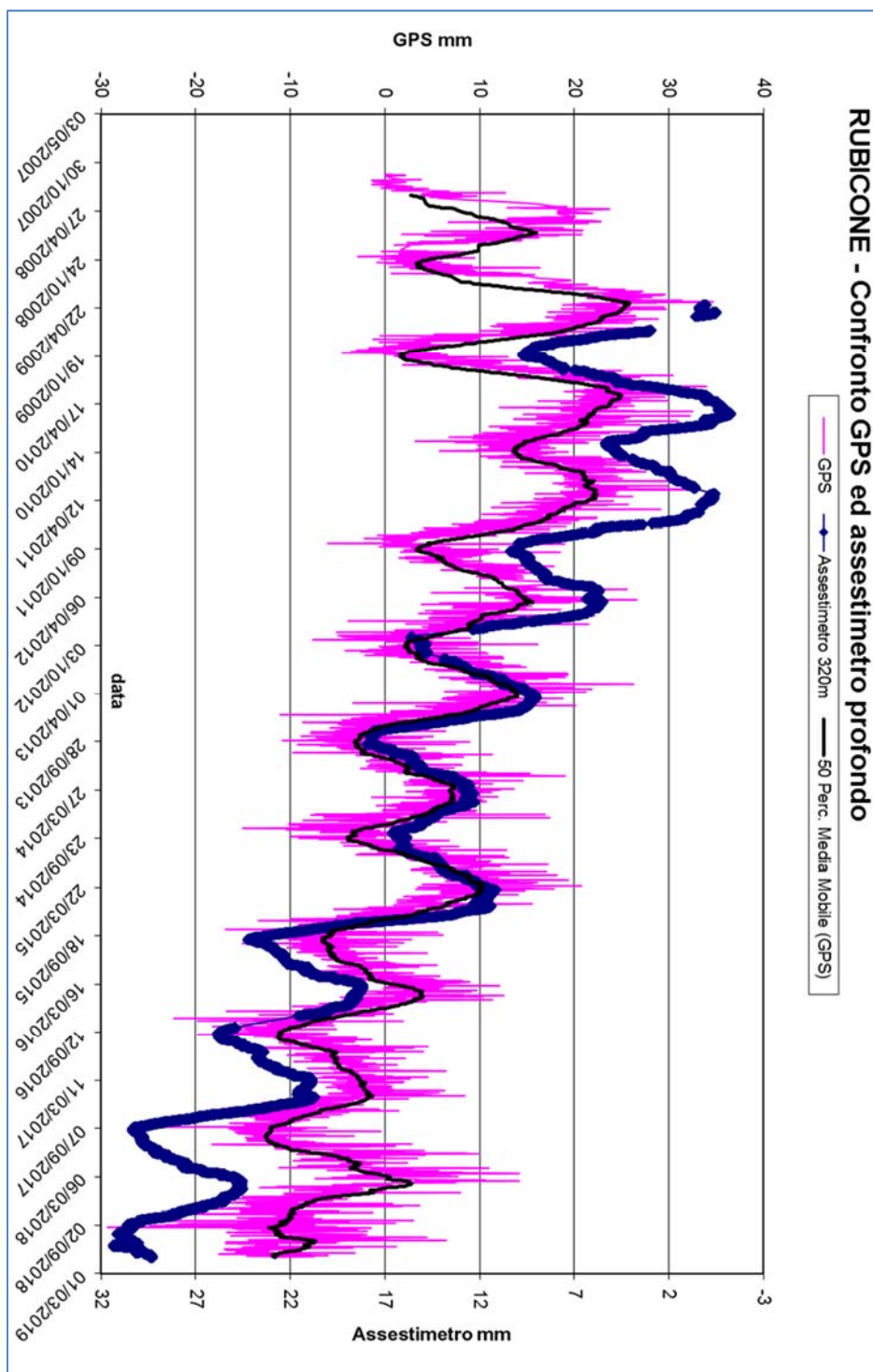


Figura 8B - Stazione EPSU di Rubicone: confronto misure CGPS vs. misure piezometrico-assestimetriche

N.B.: nel grafico per meglio apprezzare le modulazioni della curva CGPS questa è stata filtrata con una media mobile su 50 campioni. Per comodità la curva assestimetrica è stata graficata con i valori in ordine inverso, in modo da renderla coerente con le modulazioni del CGPS (spostamenti delle curve verso l'alto indicano sollevamenti del terreno e viceversa).

Stazione EPSU di FANO (installata ottobre 2008)

Strumentazione:

- assestometro - quota bottom: 40.8 m da p.c.
- piezometro a cella singola: quota cella 6.1 m da p.c.

Lo schema della strumentazione messa in opera nella stazione è illustrato nella Figura 9B mentre la Figura 10B riporta la litologia dei terreni attraversati dal pozzetto assestimetrico.

Le coordinate WGS84 della stazione sono: 43° 48' 28.37"N e 13° 02' 25.78"E.

La raccolta dati di questa stazione è iniziata il 16 ottobre 2008. In tale data (in occasione del collaudo) è stato fatto "lo zero" per tutti i sensori di misura.

L'acquisizione dati è stata fatta con regolarità secondo la seguente frequenza:

- 16 ottobre 2008 - 18 maggio 2009 una misura ogni ora;
- 19 maggio 2009 - 31 dicembre 2016 una misura ogni 6 ore.

Nel periodo monitorato (10/2008 - 12/2017) non si sono notate anomalie né a livello sensoristico, né a livello di apparecchiatura d'acquisizione dati.

L'ultimo controllo generale della strumentazione, con misure manuali dei livelli piezometrici e taratura di tutti i sensori, è stato fatto nel corso del 2018.

Analisi dei dati assestimetrici

L'assestometro misura la compattazione degli strati di terreno compresi tra la superficie (p.c.) e il punto più profondo d'ancoraggio dello strumento (40.8 m da p.c.).

Nei grafici allegati (Figura 11B) sono riportati per un confronto sia i dati piezometrici, sia quelli assestimetrici. I dati relativi all'assestometro sono espressi in millimetri e riportano gli spostamenti misurati rispetto a un valore base iniziale ("misura di zero"). Tale misura è quella del 16 ottobre 2008, data di collaudo del sistema. I valori positivi degli spostamenti nel grafico dell'assestometro indicano una compattazione e, viceversa, quelli negativi un incremento dello spessore (i.e. espansione) degli strati di terreno monitorati.

Sin dall'inizio della sua installazione, lo strumento non ha mai fatto registrare significative variazioni di spessore (compattazioni o espansioni) della porzione di terreno monitorato.

Le escursioni cicliche stagionali, infatti, sono dell'ordine di ± 1 mm, con una punta massima di compattazione di circa 1.5 mm registrata all'inizio del 2012.

La curva assestimetrica, inoltre, si correla bene con l'andamento del livello della falda acquifera monitorata dal piezometro posto a circa 6 m dal piano campagna, anche se con uno sfasamento temporale (ritardo dell'assestimetro rispetto ai minimi piezometrici) di qualche mese. Si osservano, infatti, quasi regolarmente i massimi di compattazione all'incirca a metà gennaio di ogni anno, mentre invece i minimi livelli della falda acquifera si verificano, quasi sempre, circa quattro mesi prima, ovvero intorno a metà settembre.

Nel corso del 2018 si è assistito a un ciclo simile agli anni precedenti, senza significative variazioni; una compattazione di circa 1 mm a inizio anno (metà gennaio) è stata quasi del tutto recuperata da una successiva espansione estiva (metà luglio/inizio agosto), per ritornare poi a un valore di circa 1 mm (compattazione) nel periodo autunno-invernale.

Alla fine del 2018 l'assestimetro registra, quindi di nuovo, una compattazione di ca. 1 mm con, una compattazione complessiva totale nell'anno quasi nulla (Figura 12B).

Se si prendono in esame tutte le misure assestimetriche registrate nei 10 anni e poco più di osservazioni in questa stazione, queste ultime mostrano, analogamente a quelle della stazione più a sud di Falconara, una situazione del terreno sostanzialmente stabile, con una compattazione complessiva pressoché nulla (-0.007mm/anno), a parte le variazioni cicliche stagionali.

Un comportamento del terreno pressoché identico è registrato dal CGPS ubicato in prossimità della stazione *EPSU*. Le misure CGPS danno, infatti, la superficie del suolo in leggero innalzamento con velocità media di ca. 0.1 mm/a. A sua volta la velocità media di compattazione stimata con regressione lineare dei dati della serie assestimetrica è praticamente nulla (0,007 mm/a). L'esame comparato delle due serie di misure assestimetriche e da CGPS (Figura 13B) mostra come queste abbiano gli stessi andamenti oscillatori ma sfasati nel tempo. In particolare, la curva assestimetrica sembra essere ritardata di ca. 4-5 mesi rispetto a quella del CGPS. È bene osservare, però, che si tratta di movimenti del suolo di bassissima entità, per cui si è al limite del potere risolutivo delle due tecniche di misura.

Passando al confronto con la piezometria, si nota che entrambe le curve assestimetrica e CGPS mostrano una buona correlazione con gli andamenti stagionali della falda. La curva assestimetrica si presenta, però, sfasata anche rispetto a quella piezometrica, raggiungendo

il minimo (massima espansione) circa quattro mesi dopo il massimo del livello piezometrico (Figura 11B e Figura 12B). Questo comportamento potrebbe essere spiegato dal ritardo con cui si contrae o rigonfia un grosso strato d'argilla di circa 32 m (Figura 10B) quando varia la sua saturazione in acqua. La presenza di tale strato d'argilla è stata rilevata durante la perforazione del foro assestimetrico. La curva dei dati CGPS sembra invece più in fase nel registrare in superficie i movimenti d'espansione o contrazione degli strati di terreno causati dalle variazioni del livello d'acqua nella falda (sollevamento del terreno in coincidenza dei massimi della falda). Va però notato che l'ubicazione dell'antenna CGPS (stazione SSU) dista circa 150-200 m dalla stazione *EPSU*, e probabilmente il terreno su cui è stata installata ha una stratigrafia caratterizzata da una minore presenza di livelli argillosi.

Si segnala, inoltre, che per comodità di lettura del grafico (Figura 13B):

- le misure del CGPS sono state filtrate con una media mobile su 50 campioni per meglio evidenziarne l'andamento;
- i valori della curva assestimetrica sono stati riportati in ordine inverso, così da renderne l'andamento coerente quello della curva CGPS (spostamenti delle curve verso l'alto indicano sollevamenti del terreno e viceversa).

Analisi dei dati piezometrici

Nello stesso grafico (Figura 11B) dei dati assestimetrici si è riportata la piezometria.

Nel grafico del piezometro l'ordinata è la quota piezometrica (in m), ovvero la profondità del livello dell'acqua all'interno del tubo piezometrico riferita al piano campagna. Nello stesso grafico (come seconda ordinata) è riportato il valore della pressione barometrica.

L'installazione di due trasduttori di pressione, uno per ogni canna del piezometro Casagrande, rende possibile controllare il grado di affidabilità del piezometro stesso. In questo caso la differenza di misura tra i due sensori è stata di circa ± 7 cm, il che rientra nella normale tolleranza dello strumento.

L'ultimo controllo generale della strumentazione, con controlli manuali dei livelli piezometrici e taratura di tutti i sensori, è stato per il 2018 nei mesi di febbraio, luglio e ottobre.

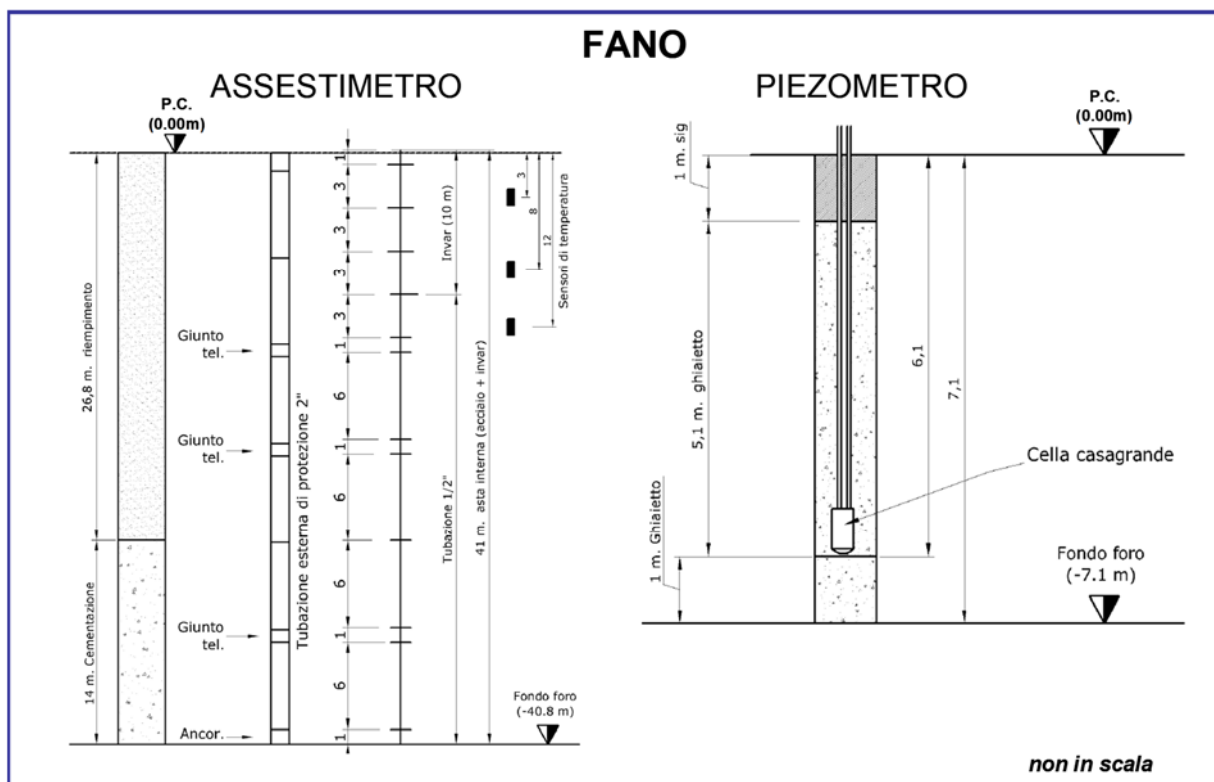


Figura 9B - Stazione EPSU di Fano

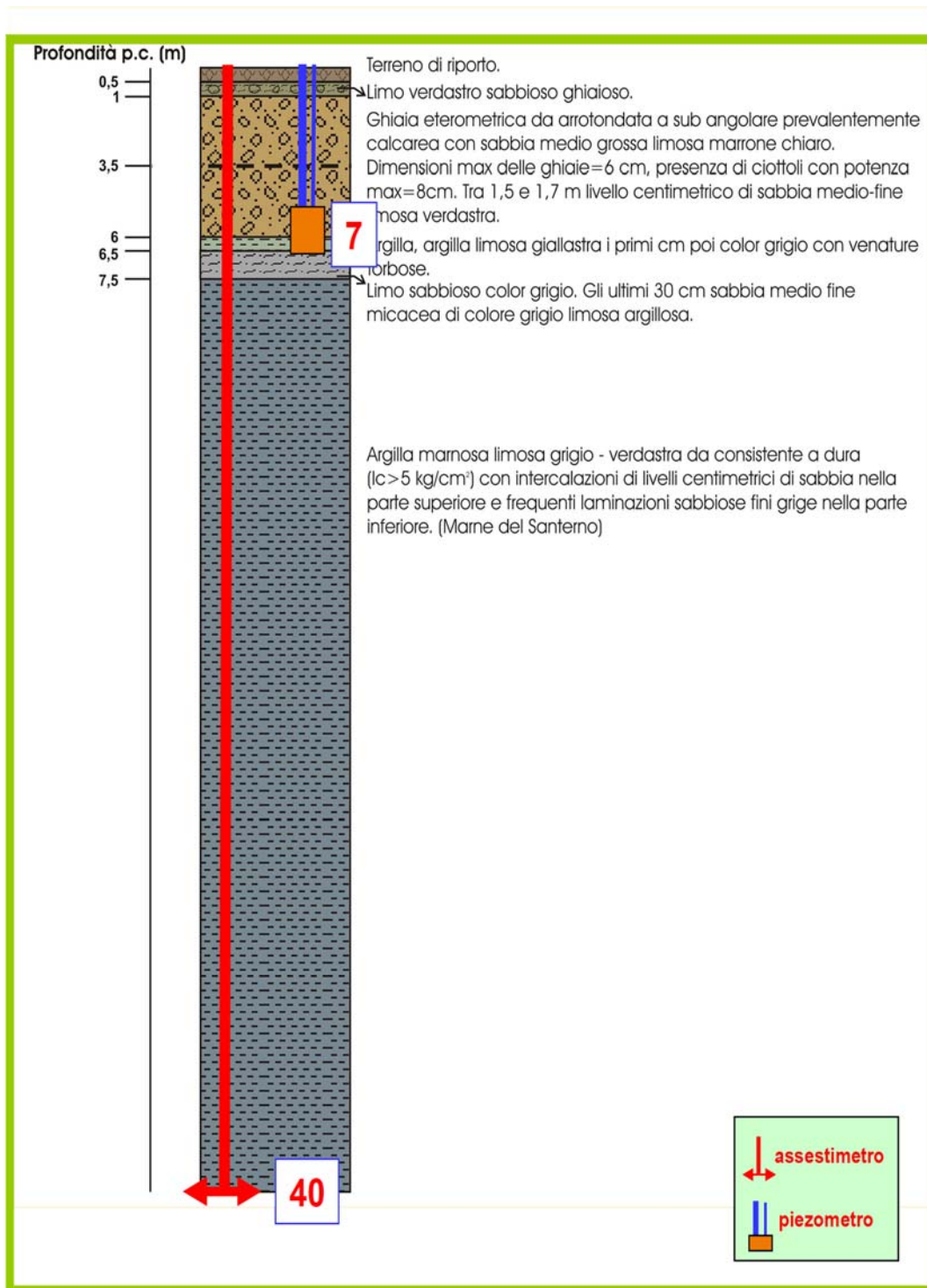


Figura 10B - Litologia dei terreni monitorati dalla stazione EPSU di Fano

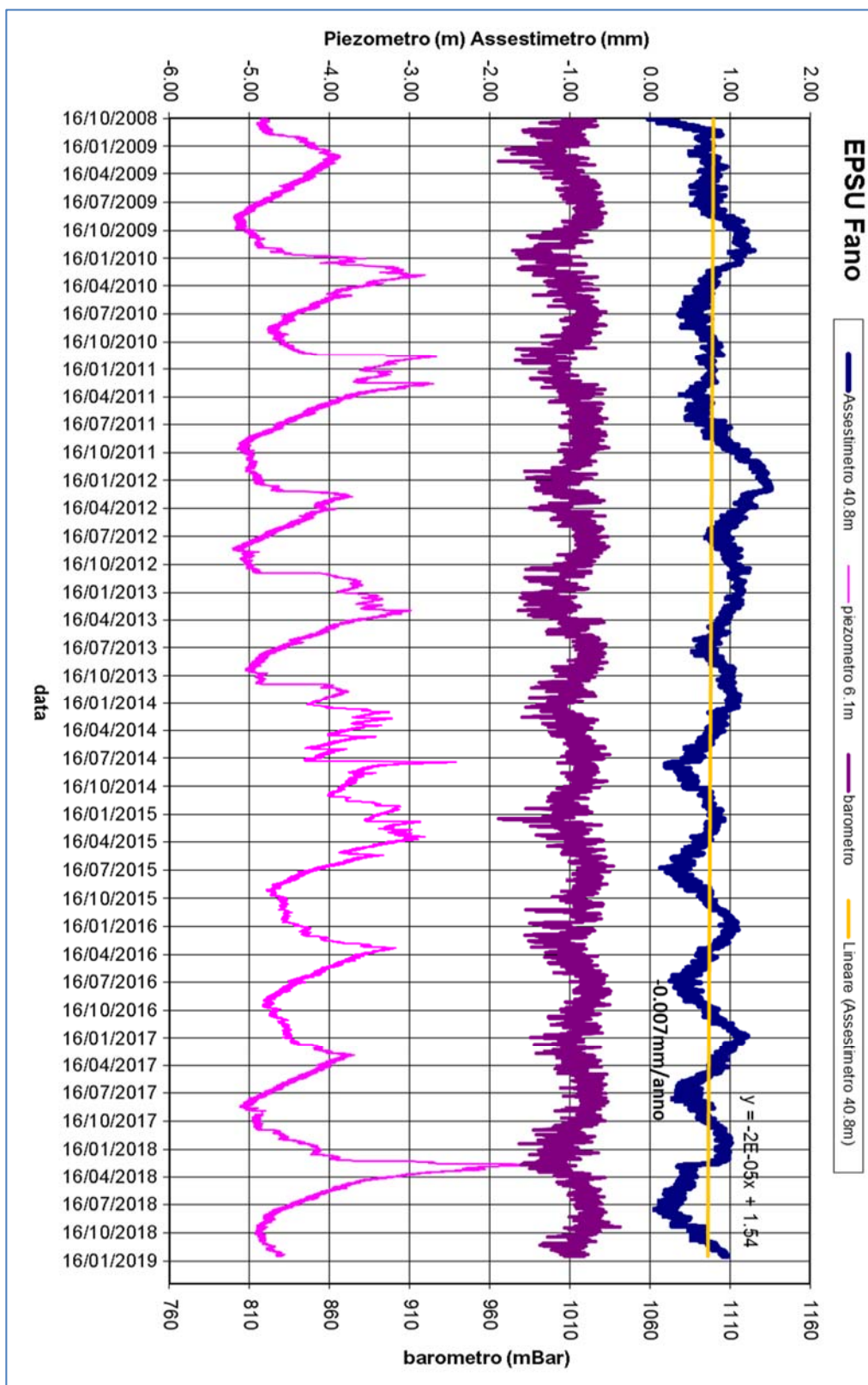


Figura 11B - Stazione EPSU di Fano: misure piezometrico-assestometriche

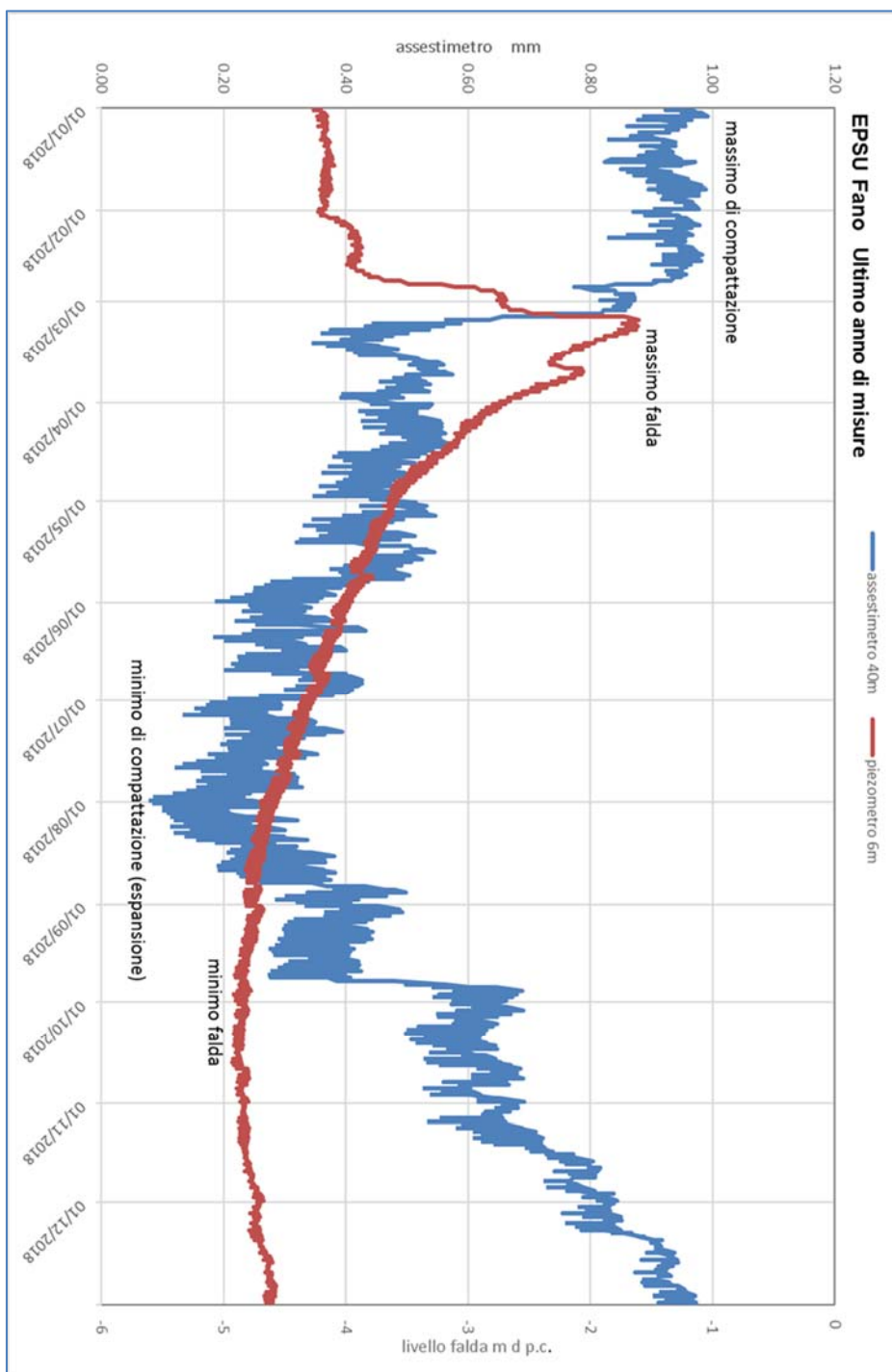


Figura 12B - Stazione EPSU di Fano: misure piezometrico-assestimetriche

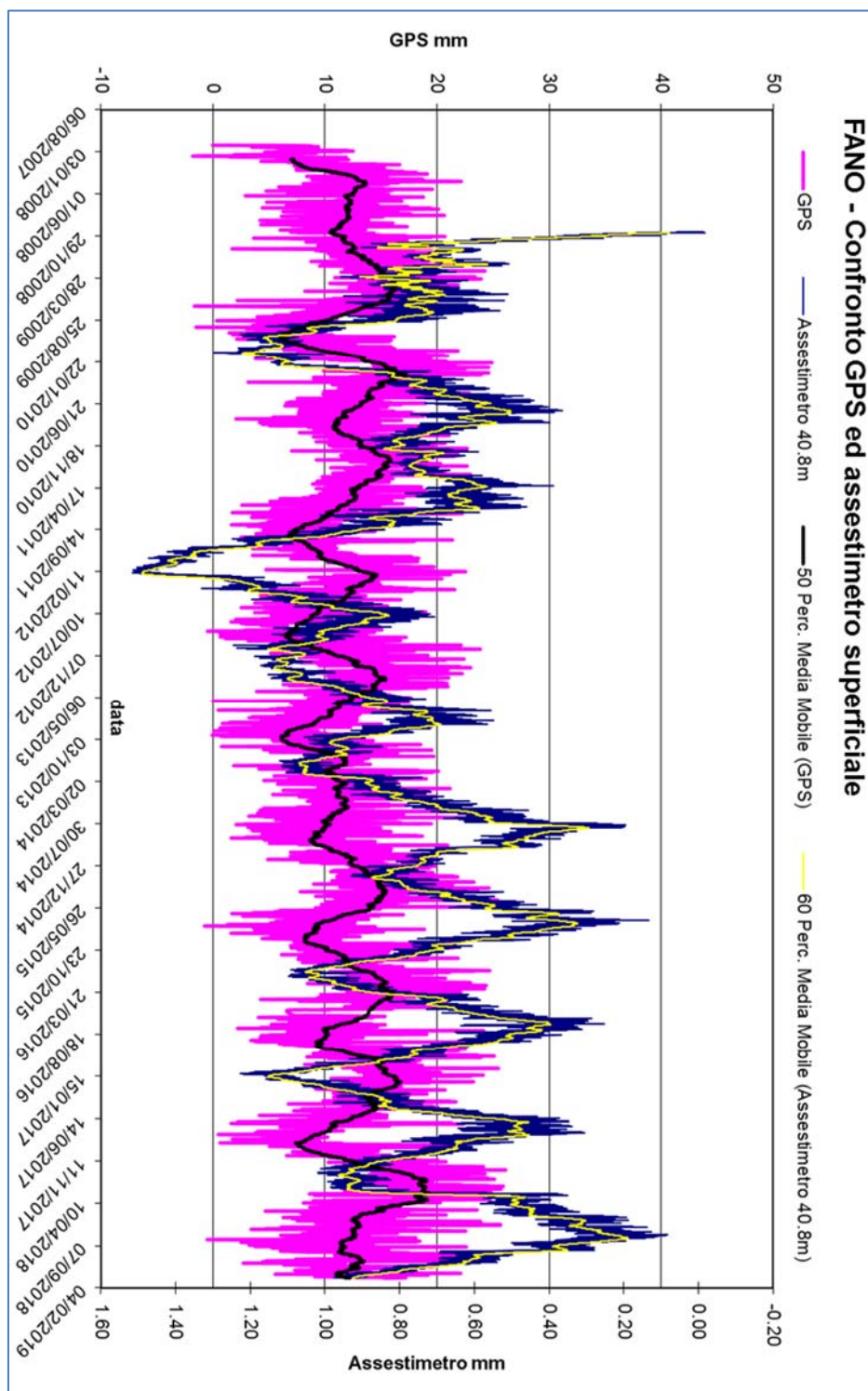


Figura 13B - Stazione EPSU di Fano: confronto fra misure CGPS vs. misure piezometrico-assestimetriche

N.B.: nel grafico per meglio apprezzare le modulazioni della curva CGPS questa è stata filtrata con una media mobile su 50 campioni. Per comodità la curva assestimetrica è stata graficata con i valori in ordine inverso, in modo da renderla coerente con le modulazioni del CGPS (spostamenti delle curve verso l'alto indicano sollevamenti del terreno e viceversa).

Stazione EPSU di FALCONARA (installata ottobre 2008)

Strumentazione:

- assestimetro - quota bottom: 40.3 m da p.c.
- piezometro a cella singola - quota cella: 21 m da p.c.

Lo schema della strumentazione messa in opera nella stazione è illustrato nella Figura 14B, mentre la Figura 15B riporta la litologia dei terreni attraversati dal pozzetto assestimetrico.

Le coordinate WGS84 della stazione sono: 43° 38' 28.86"N e 13° 21' 23.69"E.

La raccolta dati di questa stazione è iniziata il 16 ottobre 2008.

A tale data (in occasione del collaudo) è stato fatto "lo zero" dei sensori di misura.

L'acquisizione dati è stata fatta con regolarità secondo la seguente frequenza:

- 16 ottobre 2008 -18 maggio 2009: una misura ogni ora;
- 08 maggio 2009 - 31 dicembre 2014: una misura ogni 6 ore.

Nei periodi 07 ottobre 2011- 02 novembre 2011 e 03 dicembre - 13 dicembre 2011 si è avuto un problema d'alimentazione all'apparecchiatura d'acquisizione automatica dei dati, con conseguente mancata registrazione degli stessi. Identico problema si è verificato tra febbraio e aprile 2012; si è perciò sostituito parte dell'hardware del sistema d'acquisizione.

L'ultima verifica generale della strumentazione, con controlli manuali dei livelli piezometrici e taratura di tutti i sensori, è stata effettuata nell'ottobre 2018.

Analisi dei dati assestimetrici

L'assestimetro misura la compattazione degli strati di terreno compresi tra il piano di campagna (p.c.) e il punto più profondo d'ancoraggio dello strumento (40.3 m da p.c.).

Nei grafici allegati sono riportati per un confronto sia i dati piezometrici, sia quelli assestimetrici (Figura 16B). I dati relativi all'assestimetro sono espressi in millimetri e riportano gli spostamenti misurati rispetto a un valore base iniziale ("misura di zero"). Tale misura è quella del 16 ottobre 2008, data di collaudo del sistema. Valori positivi degli spostamenti nel grafico dell'assestimetro indicano una compattazione e, viceversa, valori negativi un incremento dello spessore (i.e.: espansione) degli strati di terreno monitorati.

Come nel caso della stazione di Rubicone, anche per quella di Falconara la variazione nel tempo delle misure assestometriche è caratterizzata da una curva ad andamento oscillatorio molto ben correlabile con le variazioni di livello della falda d'acqua monitorate a 22 metri di profondità, dal piezometro nell'ultimo anno (Figura 17B).

L'assestometro, che reagisce quasi immediatamente, senza ritardi, all'escursione massima e minima annuale di tale falda, mostra, inoltre, uno stato del terreno assolutamente stabile nel tempo, cioè senza apprezzabile compattazione. La velocità media annua calcolata con regressione lineare delle misure assestometriche risulta, infatti, pari a ca. -0.1 mm/a (ovvero minima compattazione dello spessore di terreno monitorato).

Identico andamento emerge dall'analisi delle misure di abbassamento/sollevamento del suolo della stazione CGPS installata in loco. La correlazione tra le due curve, assestometrica e CGPS (Figura 18B), è estremamente elevata, il loro sfasamento temporale è pressoché nullo e le "pulsazioni" (espansioni e compattazioni) del terreno (tutte di piccolissima entità) sono correlate alle variazioni di livello della falda acquifera. La velocità media annua calcolata con regressione lineare dei dati CGPS risulta pari a -0.28 mm/a (ovvero leggerissimo abbassamento della superficie del suolo).

Si segnala, inoltre, che per comodità di lettura del grafico (Figura 18B):

- le misure del CGPS sono state filtrate con una media mobile su 50 campioni per meglio evidenziarne l'andamento;
- i valori della curva assestometrica sono stati riportati in ordine inverso, così da renderne l'andamento coerente quello della curva CGPS (spostamenti delle curve verso l'alto indicano sollevamenti del terreno e viceversa).

Analisi dei dati piezometrici

Il grafico di Figura 14B oltre ai dati assestometrici riporta in ordinate sia la quota piezometrica (in m), ovvero la profondità del livello dell'acqua all'interno del tubo piezometrico riferita al piano campagna, sia il valore della pressione barometrica.

Nel caso di Falconara il livello della falda è risultato molto alto, circa 1.3 m da p.c. Dato che si sono utilizzati 2 trasduttori di pressione - uno per ogni canna del piezometro Casagrande - si è in grado di controllare l'attendibilità delle misure.

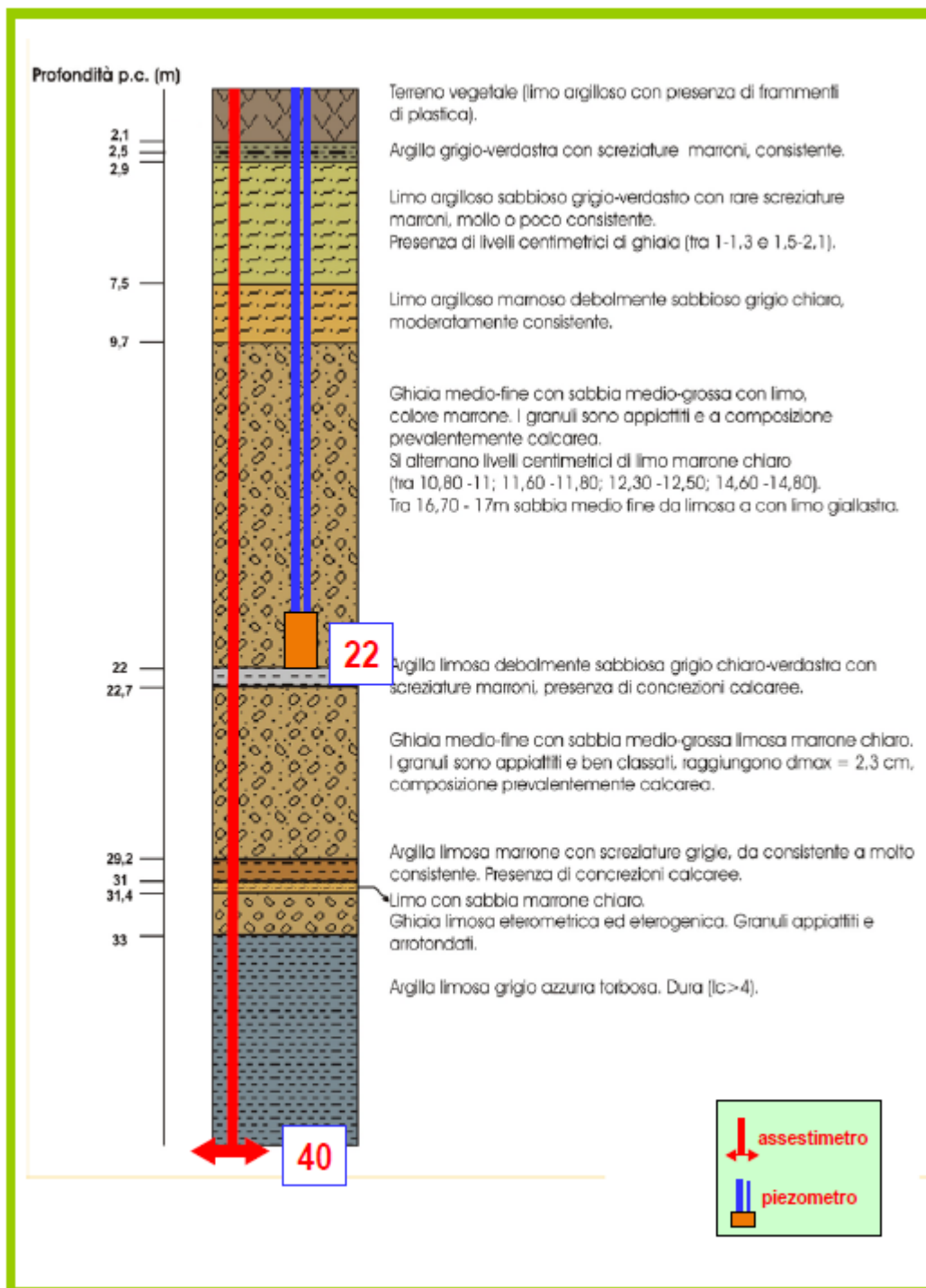


Figura 15B - Litologia dei terreni monitorati dalla stazione EPSU di Falconara

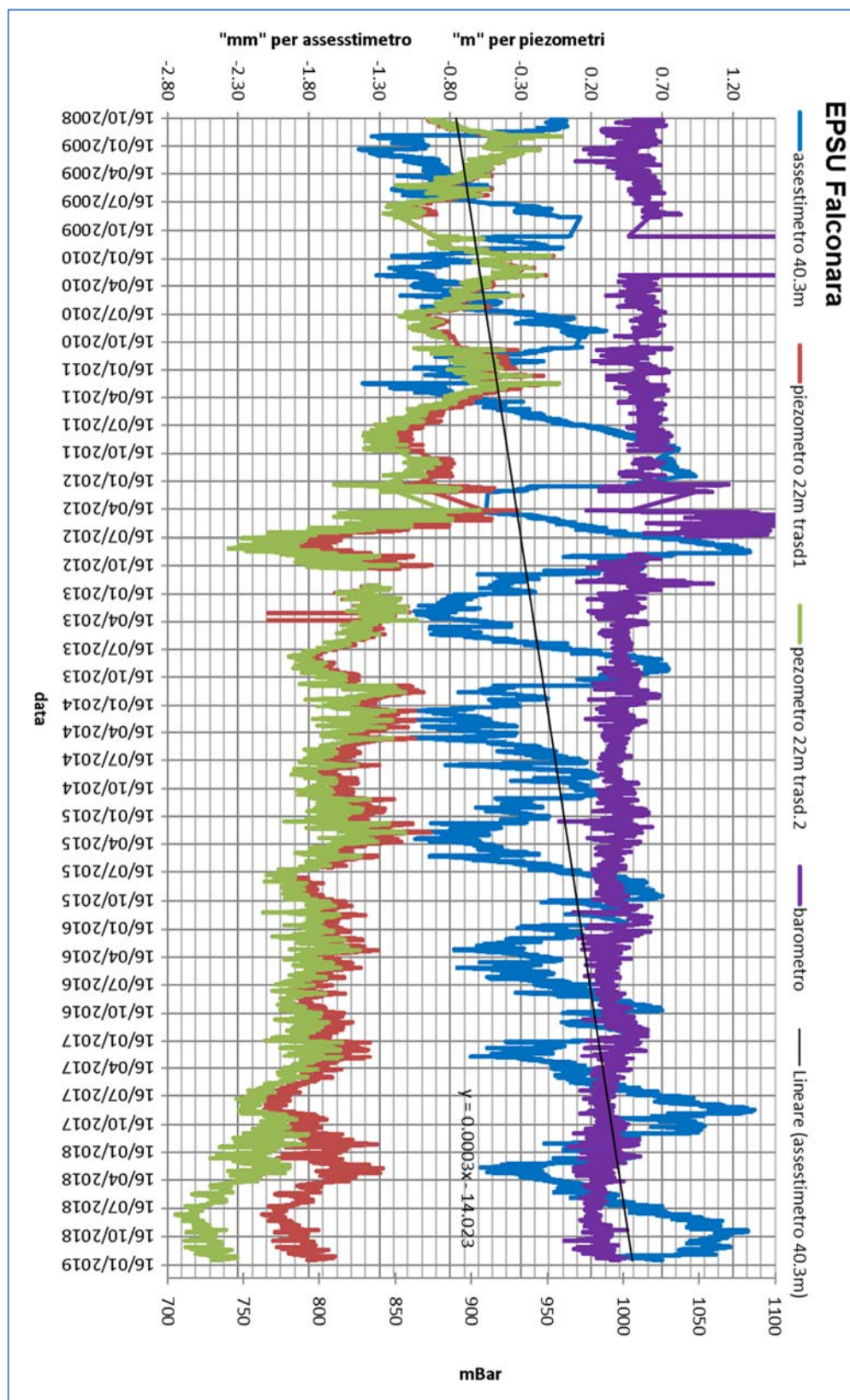


Figura 16B - Stazione EPSU di Falconara: misure piezometrico-assestimetriche

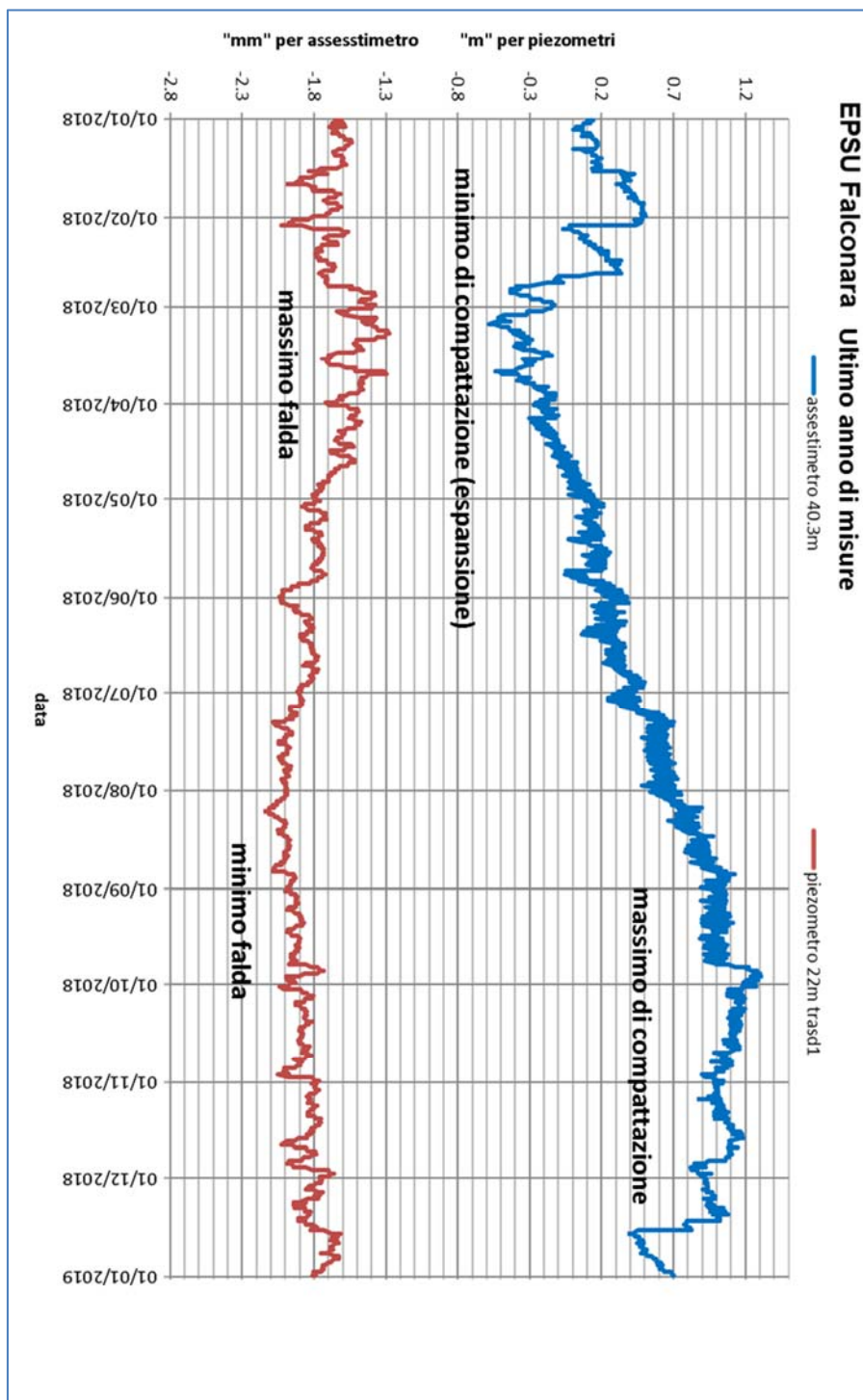


Figura 17B - Stazione EPSU di Falconara: misure piezometrico-assestimetriche

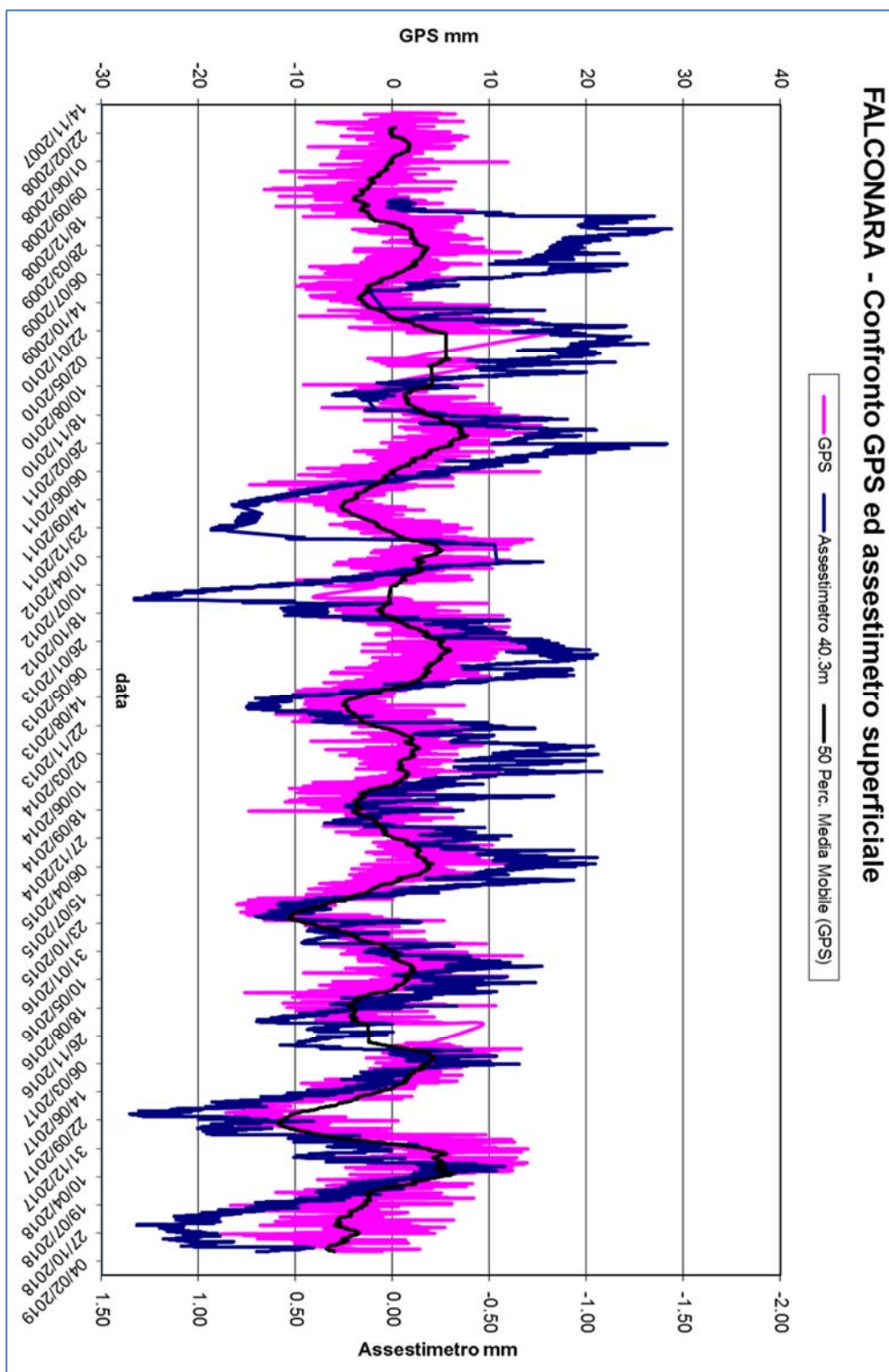


Figura 18B - Stazione EPSU di Falconara: confronto misure CGPS vs. misure piezometrico-assestimentriche

N.B.: nel grafico per meglio apprezzare le modulazioni della curva CGPS questa è stata filtrata con una media mobile su 50 campioni. Per comodità la curva assestimentrica è stata graficata con i valori in ordine inverso, in modo da renderla coerente con le modulazioni del CGPS (spostamenti delle curve verso l'alto indicano sollevamenti del terreno e viceversa).

Conclusioni

Dall'insieme dei dati sino ad ora raccolti nelle 3 stazioni *EPSU* si nota, in generale, una buona correlazione diretta tra l'andamento stagionale della piezometrica ed i cicli di compattazione ed espansione del terreno misurati dagli assestimetri.

Tale correlazione è più evidente nel caso di Falconara, dove il piezometro monitora le falde superficiali più sensibili a tutte le variazioni stagionali di piovosità.

Anche nel caso di Rubicone c'è un'ottima correlazione tra i cicli stagionali di compattazione/espansione del terreno monitorati dall'assestimetro e le corrispondenti variazioni di livello delle tre falde registrate dai piezometri. Le compattazioni massime (contrazioni del terreno), infatti, si hanno all'incirca a settembre/ottobre di ogni anno dopo circa 1.5 / 2 mesi dai minimi livelli di falda; le espansioni massime si verificano, invece, mediamente verso aprile/maggio di ogni anno e a loro volta sono in buona correlazione con i livelli piezometrici massimi delle stesse falde avvenuti 1.5/2 mesi prima. L'assestimetro di questa stazione, essendo il più profondo di quelli installati nelle 3 *EPSU*, è anche quello che registra nel tempo un aumento progressivo della compattazione del terreno monitorato (spessore 320 m). Lo strumento a dicembre 2018, dopo 9.73 anni di funzionamento, misurava, infatti, una compattazione complessiva (rispetto allo zero iniziale) di 29.31 mm, che con un semplice calcolo equivale a una velocità media annua di compattazione pari a circa 3 mm/a. Tale valore si riduce leggermente a circa 2.8 mm/a se si elaborano i dati delle misure assestimetriche con una regressione lineare. Nel caso di Fano, il trend delle curve piezometrica e assestimetrica è maggiormente influenzato dalla litologia attraversata dai pozzi, litologia che rende meno evidente la correlazione tra andamento stagionale del livello della falda e misure assestimetriche. Infatti, mentre il piezometro monitora le variazioni di livello della falda in uno strato ghiaioso-sabbioso superficiale (max. profondità 6 m dal p.c.), l'assestimetro è ancorato all'interno di uno strato argilloso spesso circa 32 m e scarsamente comprimibile, lo strumento, infatti, nei circa 10 e più anni di funzionamento ha misurato una compattazione complessiva quasi nulla (0.91 mm). A tale spessore di litologia argillosa si potrebbero imputare i ritardi nella compattazione espansione del terreno rispetto all'escursione della falda freatica monitorata. La tabella che segue riporta per ciascuna stazione la compattazione complessiva del terreno al 31/12/2018 e la relativa velocità media annua, valutata semplicemente come rapporto fra

la misura assestimetrica a fine 2018 e gli anni complessivi di monitoraggio. In questo caso non si è fatta alcuna regressione lineare dei valori della serie storica assestimetrica. Questo procedimento potrebbe, pertanto, dare risultati non perfettamente uguali, anche se molto simili, a quelli riportati nelle precedenti analisi dei dati assestimetrici. Si noti, altresì, che per le stazioni di Fano e Falconara le misure assestimetriche hanno valori molto piccoli, e che nel periodo d'osservazione non è emerso un trend ben definito di compattazione del terreno. In questo caso le medie annuali non si possono considerare veramente significative.

Sito	Anni di osservazione	Assestimetro profondo		Assestimetro superficiale	
		Spostamento compl. (mm)	Velocità (mm/a)	Spostamento compl. (mm)	Velocità (mm/a)
Rubicone	9.73	29.31	3	n.i.	-
Fano	10.21	n.i.	-	0.91	n.v.
Falconara	10.21	n.i.	-	0.69	n.v.

n.i. = non installato

n.v. = non valutabile